# REGOLAMENTO URBANISTICO

# Approfondimento di indagine per il comparto TR4 Relazione geologica

COMANO



Dicembre 2013

# Gruppo di progetto

Arch. Daniela Anceschi, progettista, coordinatrice

Arch. Adalgisa Rubino, progettista, consulente per le analisi territoriali e per la progettazione paesaggistico-ambientale

Dott.ssa Ilaria Scatarzi, consulente per il processo di informatizzazione e per gli aspetti agronomico-forestali

Dott. Geologo Michele Sani, consulente per le indagini geologiche, geomorfologiche e del rischio sismico

Dott. Ing. Claudia Lombardi

Responsabile del procedimento, Arch. Furio Biagioli

Garante dell'informazione, Geom. Antonio Nencetti

COMUNED

# TERRA & OPERE S.R.L. società d'ingegneria consulenze geologiche

# **INDICE**

1 PREMESSA3
2 PROCESSI GEOMORFOLOGICI RILEVATI5
3 INDAGINI GEOGNOSTICHE6
3.1 Sondaggi a carotaggio continuo
4 INDAGINI GEOGNOSTICHE ESEGUITE A SUPPORTO DEL PIANO ATTUATIVO IN LOCALITA' "IL FORNELLO"10
5 RISULTATI DELLE INDAGINI13
5.1 Sondaggio S1
6 SISMICITÀ18
6.1 Zona sismica
7 CONCLUSIONI31
8 ALLEGATI
INDICE DELLE FIGURE
Figura 1: Carta geomorfologica dell'area in esame7
Figura 2: Ubicazione delle indagini geognostiche e tracce delle sezioni11
Figura 3: Output della verifica di stabilità in condizione drenate (stato attuale) eseguita lungo la sezione 1-1' (traccia in figura 2). In rosso è riportata la superficie di scorrimento critica

APPROFONDIMENTO DI INDAGINE LOC. RIMAGGIO – VIA BAZZI (AREA TR4) COMUNE DI DICOMANO (FI)

# TERRA & OPERE S.R.L. società d'ingegneria consulenze geologiche

Figura 4: Output della verifica di stabilità in condizione non drenate (stato attuale) eseguita lungo la sezione 1-1' (traccia in figura 2). In rosso è riportata la superficie di scorrimento critica				
Figura 5: Output della verifica di stabilità in condizione drenate (stato attuale) eseguita lungo la sezione 2-2' (traccia in figura 2). In rosso è riportata la superficie di scorrimento critica				
Figura 6: Output della verifica di stabilità in condizione drenate (stato di progetto) eseguita lungo la sezione 1-1' (traccia in figura 2). In rosso è riportata la superficie di scorrimento critica				
Figura 7: Output della verifica di stabilità in condizione non drenate (stato di progetto) eseguita lungo la sezione 1-1' (traccia in figura 2). In rosso è riportata la superficie di scorrimento critica				
Figura 8: Output della verifica di stabilità in condizione drenate (stato di progetto) eseguita lungo la sezione 2-2' (traccia in figura 2). In rosso è riportata la superficie di scorrimento critica				
INDICE DELLE FOTO				
Foto 1: Panoramica dell'area d'indagine. La foto è stata scattata da Viale Don Lino Cecchi, nei pressi di C. Vicinato, immediatamente a monte (ad est) dell'area TR4 (identificata dall'ovale blu)				

#### 1 PREMESSA

La presente relazione geologica è stata redatta, nell'ambito del procedimento del Regolamento Urbanistico Comunale, su incarico dell'Amministrazione Comunale di Dicomano (Provincia di Firenze) in ottemperanza alle richieste dell'Ufficio Tecnico del Genio Civile - Sede di Firenze, di cui al punto 6 della lettera datata 27 ottobre 2011, prot. n. 11289 avente ad oggetto "L.R. 1/2005 - DPGR n° 26/R del 27/04/07. Comune di Dicomano, deposito nº 2816 del 16/08/11. Regolamento Urbanistico. Pratica sottoposta a controllo obbligatorio. Richiesta integrazioni", in cui si rimanda alla lettera datata 15 febbraio 2011, prot. n. 38431 avente ad oggetto "L.R. 1/2005 - DPGR n° 26/R del 27/04/07. Comune di Dicomano, deposito n° 2753 del 23/12/10. P.A. di Comparto Urbanistico D1/CR1, loc. Rimaggio. Pratica sottoposta a controllo obbligatorio. Richiesta integrazioni".

In seguito agli accertamenti eseguiti sulla pratica in oggetto (della quale in Comune di Dicomano ha chiesto l'archiviazione) mediante la suddetta comunicazione, sottoscritta dal Funzionario dell'Ufficio Tecnico, dr. Geol. Andrea Banchelli, e dal Dirigente, dr. Ing. Gianfranco Fianchisti, sono state richieste alcune integrazioni alla documentazione depositata, in particolare:

- 1) carta geomorfologica in scala adeguata che descriva lo stato dei processi geomorfologici interessanti l'area del comparto e la loro attività.
- 2) Approfondimento delle indagini geognostiche sull'area del comparto al fine di caratterizzare con sufficiente precisione, nello stato attuale ed in quello di progetto, sia la stabilità generale del versante, sia l'area di possibile evoluzione del dissesto.
- 3) Adeguamento, in funzione delle risultanze degli approfondimenti di cui al punto 1) e 2), della carta di pericolosità e delle condizioni di fattibilità degli interventi.

Nel Regolamento Urbanistico del Comune di Dicomano (Provincia di Firenze) il comparto in esame, ubicato il località Rimaggio, Via Bazzi, corrisponde all'"Area di Trasformazione e risanamento urbanistico TR4", la cui scheda norma è riportata in allegato alla presente relazione. L'area TR4 è

posta immediatamente a valle ed in fregio ad un'area ricadente in classe di pericolosità geomorfologica 4, dovuta alla presenza di fenomeni geomorfologici attivi ("processi gravitativi superficiali di soliflusso"). Poiché si prevede la realizzazione di parte della viabilità di progetto in pericolosità geomorfologica 4, vista l'assenza di indagini geognostiche a supporto del Piano Attuativo depositato e considerato che sono previsti movimenti terra significativi, sono state realizzati, immediatamente a monte della prevista area di intervento, n. 2 (due) sondaggi geognostici a carotaggio continuo; sono stati prelevati due campioni di terreno per l'esecuzione di specifiche analisi geotecniche di laboratorio e, infine, sono state eseguite prove penetrometriche dinamiche (S.P.T.) nel foro di sondaggio S1. Le indagini effettuate hanno permesso di ricostruire due modelli geologici e geotecnici preliminari distinti. Il modello proposto per il settore sud dell'area TR4, in corrispondenza del punto in cui è stato realizzato il sondaggio S1 (figura 2), è stato confrontato con i modelli geologici descritti nelle relazioni redatte dal dr. Geol. Paolo del Meglio e dal dr. Geol. Luca Gardone a supporto del Piano Attuativo del Comparto Urbanistico CR1 "Il Fornello". Tale comparto è posto immediatamente a sud-est dell'area TR4, di cui alla presente relazione (le indagini sono ubicate in figura 2). In base ai modelli geologici proposti, sono state eseguite le verifiche di stabilità del versante, sia nello stato attuale che in quello di progetto, lungo due sezioni (la traccia è riportata in figura 2), ottenute a seguito di un rilievo planoaltimetrico eseguito nel mese di dicembre 2012 con strumentazione GPS. Nel modello di terreno di progetto sono stati inseriti gli edifici e le opere di urbanizzazione previste all'interno del comparto TR4, così come illustrate nella relativa scheda di progetto, ipotizzando movimenti terra limitati, oltre alla realizzazione di opere di sostegno di altezza modesta. Non avendo a disposizione dati di progetto definitivi, ai fini della presente relazione sono state eseguite esclusivamente analisi preliminari che, di conseguenza, dovranno essere approfondite in fase attuativa ed esecutiva, inserendo i profili definitivi di progetto, i carichi reali esercitati dai singoli edifici e le opere di sostegno previste.

#### 2 PROCESSI GEOMORFOLOGICI RILEVATI

L'area in esame (TR4) è collocata in Via Eugenio Bazzi, in località Rimaggio, nella periferia nord di Dicomano. Il lotto è posto ai piedi di un versante piuttosto antropizzato, caratterizzato da pendenze medie (5-10%) nella zona di raccordo con il fondovalle attraversato dal Fiume Sieve e piuttosto elevate (15-20%) immediatamente a monte dell'area in cui sono previsti gli interventi (foto 1). La realizzazione degli edifici e delle opere di urbanizzazione è prevista in terreni attualmente incolti (seminativo semplice asciutto). Le uniche forme osservate in campagna sono alcune scarpate naturali di altezza massima di 3-4 m e, a valle degli edifici esistenti ed a margine delle viabilità, alcune scarpate di origine antropica. Le forme rilevate sono riportate nella planimetria di figura 1, in cui è indicata anche il limite dell'area TR4 e le opere in previsione. Per quanto concerne il soliflusso riportato nelle carta geomorfologica allegata al Piano Strutturale, in campagna non ci sono evidenze di tale forma di dissesto superficiale anche perché, nel punto in cui è cartografato, la roccia è sub-affiorante.



Foto 1: Panoramica dell'area d'indagine. La foto è stata scattata da Viale Don Lino Cecchi, nei pressi di C. Vicinato, immediatamente a monte (ad est) dell'area TR4 (identificata dall'ovale blu).

#### 3 INDAGINI GEOGNOSTICHE

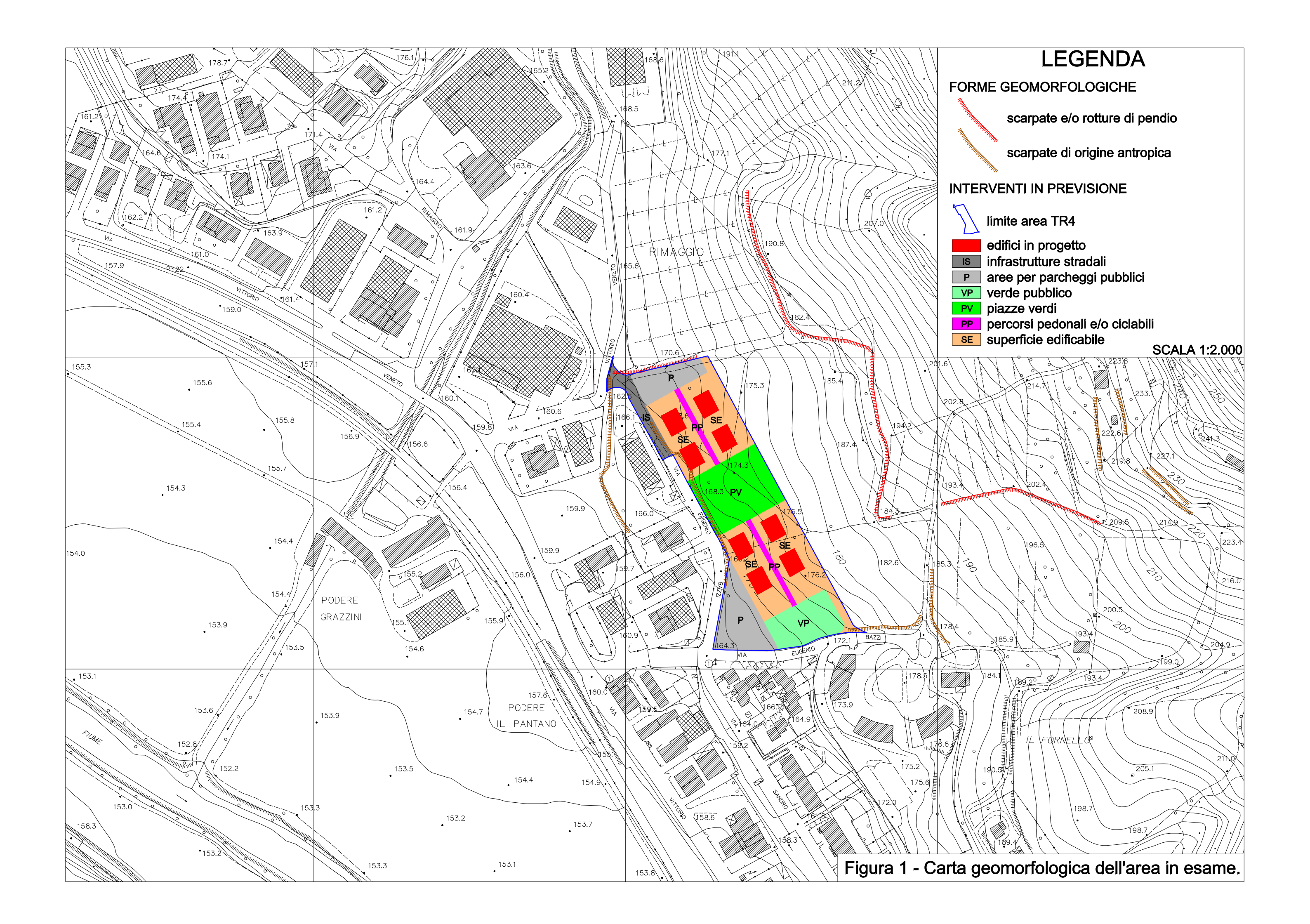
Per lo studio delle caratteristiche litologiche, stratigrafiche e geotecniche dei terreni presenti nell'area in studio, è stata eseguita una campagna geognostica costituita dalle seguenti indagini (ubicazione in figura 2):

- n. 2 sondaggi a carotaggio continuo (S1 e S2; ubicazione in figura 2); i sondaggi sono stati eseguiti dalla Ditta GEA s.n.c. di Borgioli e Matteini, avente sede in Montelupo Fiorentino (Provincia di Firenze), Via della Pratella n. 18/20, P.IVA 01202980478, in data 10 e 11 dicembre 2012 (le stratigrafie e la documentazione fotografica sono riportate nell'Allegato B);
- > n. 3 prove penetrometriche dinamiche (S.P.T.), eseguite nel foro di sondaggio S1, alla profondità di 2,5 m, 7,5 m e 13,0 m da p.c.;
- prelievo di due campioni indisturbati nel foro di sondaggio S1, alla profondità di 5,00 m dal p.c. (campione C1) e di 10,00 m dal p.c. (campione C2), per esecuzione di prove geotecniche di laboratorio (peso di volume, compressione semplice e prova di taglio diretto in entrambi i campioni). Le prove sono state eseguite presso il Laboratorio ELLETI S.r.l., avente sede in Firenze, Via Galeotti n. 3. I certificati sono riportati nell'Allegato C;
- rilievo topografico delle aree, effettuato con strumento topografico GPS Leica 1200 Series da parte dei tecnici di Atlante S.r.l..

Nei paragrafi seguenti, vengono descritte le modalità esecutive delle indagini che costituiscono la campagna geognostica realizzata.

# 3.1 Sondaggi a carotaggio continuo

I sondaggi denominati S1 e S2 (ubicazione in figura 2) sono stati eseguiti con una perforatrice Boart Longyear, usando un carotiere semplice di diametro pari a 101 mm e rivestimento di diametro di 127 mm. I due campioni indisturbati sono stati prelevati dal foro di sondaggio S1 (C1 e C2) utilizzando un campionatore a pareti sottili (Shelby). Con il sondaggio S1 è stata raggiunta la profondità di - 15,00 m da p.c. (posto a 179 m s.l.m.) senza intercettare il substrato roccioso, mentre con il sondaggio S2 è stata raggiunta la profondità di - 5,50 m da p.c. (posto a 177,54 m s.l.m.).



#### 3.2 Prove di laboratorio

#### 3.2.1 Peso di volume

Il peso di volume è il rapporto tra il peso totale del terreno (P) ed il volume totale. Si determina prelevando una parte di campione mediante cilindro a bordo tagliente e si misura il suo volume mediante immersione in un recipiente contenente mercurio.

Considerando:

P<sub>t</sub> = peso del campione + cilindro;

P<sub>c</sub> = peso del cilindro;

V<sub>m</sub> = volume del mercurio spostato;

V<sub>c</sub> = volume del cilindro;

Il peso di volume di ottiene dal rapporto tra P<sub>t</sub>-P<sub>c</sub> e V<sub>m</sub>-V<sub>c</sub>.

#### 3.2.2 Prova di taglio diretto (CD)

Questa prova consente di determinare la resistenza al taglio di un campione, lungo un piano di scorrimento predeterminato, in corrispondenza di una certa pressione verticale. La prova di taglio più usata è quella eseguita tramite l'apparecchio di Casagrande. Nella modalità CD (consolidata, drenata), la prova di taglio diretto viene eseguita con velocità molto bassa in quanto occorre che ad ogni gradino di carico venga eliminata l'acqua in eccesso dal provino senza andare ad incrementare la pressione neutra. I parametri che si ottengono, di conseguenza, sono espressi in termini efficaci. Il risultato finale è rappresentato da un diagramma in cui lo sforzo di taglio (asse y) è in funzione della tensione normale (carico verticale - asse x). I punti sperimentali si dispongono su una retta la cui pendenza corrisponde all'angolo di attrito interno  $\phi$ '; l'intercetta corrisponde alla coesione efficace c'.

#### 3.2.3 Prova di espansione laterale libera (ELL)

In questa prova un campione cilindrico di terreno è sottoposto a compressione nella direzione del suo asse maggiore, lasciandolo libero di espandersi lateralmente fino a rottura. La misura delle deformazioni e delle tensioni applicate fornisce delle coppie di valori che producono una curva

(tensione normale-deformazione), dalla quale si ricava un valore approssimato della coesione non drenata c<sub>11</sub>.

3.3 Prove penetrometriche dinamiche (S.P.T.)

Con la prova penetrometrica dinamica S.P.T. (*Standard Penetration Test*) si misura il numero di colpi necessario per infiggere il campionatore standard per la profondità di 30 cm battendo con un maglio del peso di 63,5 kg e con un altezza di caduta di 76 cm.

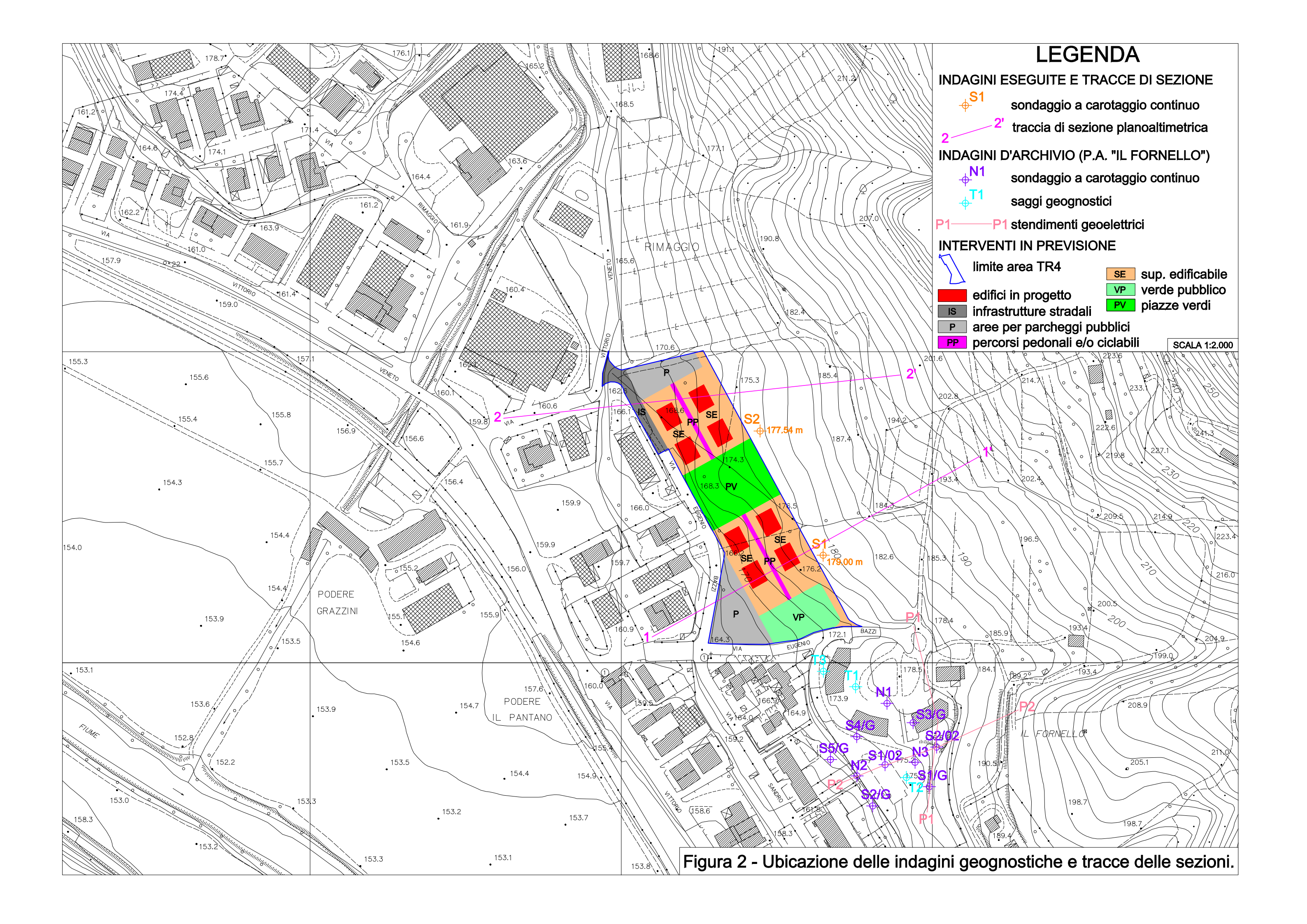
La prova viene eseguita sul fondo del foro di sondaggio infiggendo il campionatore per tre tratti successivi di 15 cm e registrando ogni volta il numero di colpi  $(N_1, N_2, N_3)$ . Il parametro caratteristico della prova S.P.T.  $(N_{SPT})$  è dato dai colpi relativi all'infissione degli ultimi 30 cm:  $N_{SPT} = N_2 + N_3$ .

4 INDAGINI GEOGNOSTICHE ESEGUITE A SUPPORTO DEL PIANO ATTUATIVO IN LOCALITA' "IL FORNELLO"

Immediatamente a sud-est dell'area indagata, sono state svolte nel 2002 numerose indagini geognostiche a supporto del Piano Attuativo del Comparto Urbanistico CR1 "Il Fornello" su Commissione dell'Istituto Diocesano di Sostentamento del Clero. Le modalità esecutive ed i risultati delle indagini eseguite sono riportati nelle relazioni geologiche e geotecniche redatte dal Dr. Geol. Paolo Del Meglio (febbraio 2002 e maggio 2002) e dal Dr. Geol. Luca Gardone (febbraio 2003). Gli elaborati sono stati consultati presso gli uffici del Comune di Dicomano (Provincia di Firenze), con domanda di accesso agli atti del 21 novembre 2012.

Le indagini eseguite, la cui ubicazione è riportata nella planimetria di figura 2, sono le seguenti:

- n. 10 sondaggi geognostici a carotaggio continuo;
- n. 3 trincee esplorative;
- n. 2 stendimenti geoelettrici.



Durante l'esecuzione dei sondaggi a carotaggio continuo sono stati prelevati n. 5 campioni rimaneggiati e n. 7 campioni indisturbati entro gli orizzonti ritenuti più significativi. Sui campioni sono state eseguite le seguenti prove di laboratorio:

- determinazione delle caratteristiche fisiche e delle proprietà indice (su tutti i campioni);
- analisi granulometrica (su tutti i campioni);
- determinazione dei limiti di Atterberg (su tutti i campioni);
- prova edometrica (su 1 campione);
- prove di taglio diretto C.D. (su 6 campioni), di taglio diretto U.U. (su 3 campioni) e di taglio residuo (su 3 campioni).

#### 5 RISULTATI DELLE INDAGINI

#### 5.1 Sondaggio S1

La stratigrafia del sondaggio S1 è riportata nell'Allegato B, insieme alle schede fotografiche delle cassette catalogatrici. Sono stati attraversati i seguenti terreni:

- 0,00 m 0,60 m: terreno vegetale;
- 0,60 m 2,50 m: limi argillosi marroni;
- 2,50 m 5,70 m: limi argillosi marroni-grigi, con inclusi clasti arenacei spigolosi di dimensioni decimetriche;
- 5,70 m 8,50 m: limi argillosi grigi, con inclusi orizzonti carboniosi;
- 8,50 m 15,00 m: argille limose grigio-azzurre, con clasti arenacei sparsi e resti carboniosi.

Durante l'esecuzione della prova non si sono registrate venute d'acqua nel foro di sondaggio.

# 5.2 Sondaggio S2

La stratigrafia del sondaggio S2 è riportata nell'Allegato B, insieme alle schede fotografiche delle cassette catalogatrici. Sono stati attraversati i

#### seguenti terreni:

- 0,00 m 0,30 m: terreno vegetale;
- 0,30 m 2,00 m: limi sabbiosi marroni con clasti arenacei centimetrici sparsi;
- 2,00 m 4,50 m: clasti arenacei spigolosi, anche pluridecimetrici, immersi in matrice sabbioso-limosa;
- 4,50 m 5,50 m: substrato roccioso (arenarie marroni-grigie);

Durante l'esecuzione della prova non si sono registrate venute d'acqua nel foro di sondaggio.

# 5.3 Prove penetrometriche dinamiche (S.P.T.)

I risultati delle prove S.P.T., eseguite nel foro di sondaggio S1, permettono di ricavare indicazioni sulle caratteristiche geotecniche dei terreni incontrati attraverso correlazioni di natura empirica. Considerando la natura dei terreni attraversati in corrispondenza della verticale S1 (in prevalenza limi ed argille), sono stati ricavati i valori di coesione non drenata da correlazioni empiriche con N<sub>SPT</sub> mediante la relazione di Stroud (1974), che permette di stimare la c<sub>u</sub> in maniera approssimativa in base alla seguente correlazione:

$$c_u = f_1 N_{SPT}$$

in cui f₁ è un coefficiente funzione dell'indice di plasticità dell'argilla ed ha valore medio derivato da dati sperimentali pari a 4,4 kPa.

In base a tale correlazione, sono stati ottenuti i seguenti valori di cu:

#### S.P.T. 1:

- > profondità di esecuzione 2,5 m;
- $Arr N_{SPT} = N_2 + N_3 = 11;$
- $\rightarrow$  c<sub>u</sub> = 48,4 kPa (0,49 kg/cm<sup>2</sup>).

#### S.P.T. 2:

- > profondità di esecuzione 7,5 m;
- $\rightarrow$  N<sub>SPT</sub> = N<sub>2</sub>+N<sub>3</sub>= 18;
- ightharpoonup c<sub>u</sub> = 79,2 kPa (0,81 kg/cm<sup>2</sup>).

#### S.P.T. 3:

- > profondità di esecuzione 13,0 m;
- Arr N<sub>SPT</sub> = N<sub>2</sub>+N<sub>3</sub>= 38;
- $\rightarrow$  c<sub>u</sub> = 167,2 kPa (1,70 kg/cm<sup>2</sup>).

# 5.4 Risultati delle prove geotecniche di laboratorio

Le indagini eseguite sui campioni indisturbati prelevati alla profondità di 5,00 m dal p.c. (C1) e di 10,00 m dal p.c. (C2) dal foro di sondaggio S1 hanno fornito i seguenti risultati:

- il peso di volume determinato è pari a 19,40 kN/m³ (1,98 t/m³) per il campione C1 e a 19,90 kN/m³ (2,03 t/m³) per il campione C2;
- dall'interpretazione della prova di taglio diretto C.D. eseguita sul campione
   C1, la coesione drenata e l'angolo di attrito interno efficace risultano rispettivamente c' = 5 kPa (0,05 kg/cm²) e φ' = 32°; la stessa prova, eseguita sul campione C2, ha fornito valori di c' = 12 kPa (0,12 kg/cm²) e φ' = 25°.
- in base all'esecuzione della prova ad espansione laterale libera (ELL), per il campione C1 si è ottenuta una c<sub>u</sub> pari a 78 kPa (0,79 kg/cm²), mentre per C2 si è ottenuto un valore di c<sub>u</sub> pari a 193 kPa (1,97 kg/cm²).

Per ulteriori approfondimenti si rimanda ai certificati che costituiscono l'allegato C.

# 5.5 Risultati delle indagini geognostiche eseguite in località II Fornello

Come si evince dalle indagini eseguite a supporto del Piano Attuativo del Comparto Urbanistico CR1 "Il Fornello", le cui modalità esecutive e risultati sono descritti nelle relazioni redatte dal dr. Geol. Paolo Del Meglio e dal dr. Geol. Luca Gardone, sono stati riscontrati tre orizzonti costituenti il modello geologico dell'area, del tutto confrontabili con gli orizzonti riscontrati in corrispondenza della verticale del sondaggio S1, eseguito ai fini della presente relazione nel mese di dicembre 2012. Il livello superficiale, avente uno spessore medio di circa 4,2 m, definito come materiale eluvio-colluviale, è

costituito da limi e sabbie di colore marrone nocciola, inglobanti clasti marnoso-arenacei di diametro massimo di 5 cm. Il livello sottostante, avente uno spessore medio di circa 3,8 m, è formato da argille piuttosto compatte di colore marrone, con screziature grigiastre e verdastre, con clasti marnoso-arenacei di diametro massimo di 2-3 cm. E' considerato come livello di alterazione del sottostante substrato argilloso. Il livello basale, spesso circa 8,4 metri, è costituito da argille compatte con inclusi marnosi ed arenacei di diametro massimo di 2-3 cm.

#### 5.6 Modello geologico e geotecnico del sottosuolo

Vista la stratigrafia dei sondaggi effettuati nel mese di dicembre 2012 (par. 5.1 e 5.2; Allegato B), dopo aver preso visione delle stratigrafie dei sondaggi eseguiti nel 2002 a supporto del Piano Attuativo del Comparto Urbanistico CR1 "Il Fornello", è possibile individuare due modelli geologici e geotecnici distinti per l'area TR4. Il modello proposto in corrispondenza del **sondaggio S1** (settore sud) è il seguente:

### > Strato 1: terreno vegetale.

spessore medio: 0,60 m;

 $\gamma = 1,65 \text{ t/m}^3 (16,18 \text{ kN/m}^3) - dato di letteratura;$ 

φ'= 15° - dato di letteratura;

 $c' = 0.02 \text{ kg/cm}^2 (2 \text{ kN/m}^2) - dato di letteratura;$ 

c<sub>u</sub>= 0,25 kg/cm<sup>2</sup> (24,51 kN/m<sup>2</sup>) - dato di letteratura.

# > Strato 2: *limi argillosi*.

Spessore medio: 1,90 m;

 $\gamma$  = 1,98 t/m³ (19,40 kN/m³) - vista la composizione, da prova di laboratorio

su campione C1;

φ'= 25° - in via cautelativa, da prova di taglio diretto su campione C2;

 $c' = 0,12 \text{ kg/cm}^2 (12 \text{ kN/m}^2)$  - in via cautelativa, da prova di taglio diretto su

campione C2;

c<sub>u</sub>= 0,49 kg/cm<sup>2</sup> (48,40 kN/m<sup>2</sup>) - da S.P.T.1 mediante correlazione di Stroud (1974).

# > Strato 3: limi argillosi con clasti arenacei.

Spessore medio: 3,20 m;

 $\gamma$  = 1,98 t/m<sup>3</sup> (19,40 kN/m<sup>3</sup>) - da prova di laboratorio su campione C1;

b'= 32° - da prova di taglio diretto su campione C1;

c' = 0,05 kg/cm<sup>2</sup> (5 kN/m<sup>2</sup>) - da prova di taglio diretto su campione C1;

c<sub>u</sub>= 0,79 kg/cm<sup>2</sup> (78 kN/m<sup>2</sup>) - da prova ELL su campione C1.

# > Strato 4: limi argillosi con orizzonti carboniosi.

Spessore medio: 2,80 m;

 $\gamma$  = 1,98 t/m³ (19,40 kN/m³) - vista la composizione, da prova su campione C1;

φ'= 20° - dato di letteratura;

 $c' = 0.02 \text{ kg/cm}^2 (2 \text{ kN/m}^2) - dato di letteratura;$ 

c<sub>u</sub>= 0,81 kg/cm<sup>2</sup> (79,20 kN/m<sup>2</sup>) - da S.P.T.2 mediante correlazione di Stroud (1974).

#### > Strato 5: argille limose.

Spessore medio: 6,50 m;

 $\gamma = 2.03 \text{ t/m}^3 (19.90 \text{ kN/m}^3) - da prova di laboratorio su campione C2;$ 

 $c' = 0.12 \text{ kg/cm}^2 (12 \text{ kN/m}^2) - \text{da prova di taglio diretto su campione C1};$ 

c<sub>u</sub>= 1,70 kg/cm<sup>2</sup> -1,97 kg/cm<sup>2</sup> (167,20 kN/m<sup>2</sup> -193,00 kN/m<sup>2</sup>) - *rispettivamente* da S.P.T.3 (correlazione di Stroud) e da prova ELL su campione C2.

Il modello geologico proposto in corrispondenza del **sondaggio S2** (settore nord) è il seguente:

### > Strato 1: terreno vegetale.

spessore medio: 0,30 m;

 $\gamma$  = 1,65 t/m<sup>3</sup> (16,18 kN/m<sup>3</sup>) - dato di letteratura;

φ'= 15° - dato di letteratura;

# TERRA & OPERE S.R.L. società d'ingegneria consulenze geologiche

 $c' = 0.02 \text{ kg/cm}^2 (2 \text{ kN/m}^2) - dato di letteratura.$ 

#### > Strato 2: limi sabbiosi con clasti arenacei.

Spessore medio: 4,20 m;

γ = 1,98 t/m³ (19,40 kN/m³) - vista la composizione, in via cautelativa, da prova di laboratorio su campione C1 prelevato nel foro di sondaggio S1;

φ'= 32° - vista la composizione, in via cautelativa, da prova di taglio diretto su campione C1, prelevato nel foro di sondaggio S1;

c' = 0,05 kg/cm<sup>2</sup> (5 kN/m<sup>2</sup>) - vista la composizione, in via cautelativa, da prova di taglio diretto su campione C1, prelevato nel foro di sondaggio S1.

#### > Strato 3: substrato roccioso (arenarie).

spessore medio: non valutabile (il substrato è stato intercettato a partire da 4,50 m da p.c. e si presuppone continuo in profondità);

 $\gamma$  = 2,30 t/m<sup>3</sup> (22,55 kN/m<sup>3</sup>) - dato di letteratura;

φ'= 45° - dato di letteratura.

# 6 SISMICITÀ

#### 6.1 Zona sismica

In data 23 ottobre 2005 è entrata in vigore l'Ordinanza del Presidente del Consiglio dei Ministri n. 3274 del 20 marzo 2003¹ ed è diventata operativa la nuova classificazione sismica del territorio che vede il Comune di Dicomano (Provincia di Firenze) classificato in "zona sismica 2". Con Delibera n. 431² del 19 giugno 2006, la Giunta della Regione Toscana, in merito all'attuazione del D.M. 14 settembre 2005 "Norme tecniche per le costruzioni" e alla O.P.C.M. del 28 aprile 2006 n. 3519³, ha approvato l'elenco dei comuni soggetti a variazione sismica (allegato 1; tabella 1 e 2). In tale elenco il Comune di Dicomano (Provincia Firenze) è stato confermato in zona sismica 2.

<sup>1</sup> Primi elementi in materia di criteri generali per la classificazione sismica del territorio nazionale e di normative tecniche per le costruzioni in zona sismica.

<sup>2</sup> Riclassificazione sismica del territorio regionale: "Attuazione del D.M. 14.9.2005 e O.P.C.M. 3519 del 28 aprile 2006 pubblicata sulla Gazzetta Ufficiale dell'11.5.2006".

<sup>3</sup> Criteri generali per l'individuazione delle zone sismiche e per la formazione e l'aggiornamento degli elenchi delle medesime zone.

#### 6.2 Parametrici sismici

#### 6.2.1 Aspetti generali

Le azioni sismiche di progetto si definiscono a partire della pericolosità sismica di base del sito di costruzione, definita in termini di  $a_g$  (accelerazione orizzontale massima attesa in condizioni di campo libero su sito di riferimento rigido, con superficie topografica orizzontale) e di ordinate dello spettro di risposta elastico in accelerazione ad essa corrispondente. Ai fini del D.M. 14 gennaio 2008, le forme spettrali sono definite, per ciascuna probabilità di eccedenza ( $P_{VR}$ ) nel periodo di riferimento  $V_R$ , a partire dai valori dei seguenti parametri su sito di riferimento rigido (sottosuolo A) e superficie tipografica orizzontale (categoria T1):  $a_g$  (accelerazione orizzontale massima al sito),  $F_0$  (valore massimo del fattore di amplificazione delle spettro in accelerazione orizzontale) e  $T_C^*$  (periodo di inizio del tratto a velocità costante dello spettro in accelerazione orizzontale). Il riferimento per la stima della pericolosità sismica è la griglia di 10.751 punti, di cui viene fornita la terna  $a_g$ ,  $F_0$  e  $T_C^*$  per nove distinti periodi di ritorno  $T_R$ .

Una volta determinati i parametri sismici in base alle caratteristiche del progetto (ubicazione, classe d'uso e vita nominale), è possibile ottenere i coefficienti sismici relativi ad ogni stato limite introducendo la categoria di sottosuolo (con approccio semplificato) e la categoria topografica.

#### 6.2.2 Determinazione delle categorie di sottosuolo

Sulla base dei modelli geologici illustrati, sono state attribuite due distinte categorie di sottosuolo. Per il sito posto in corrispondenza della verticale del sondaggio S1 è stata attribuita la **categoria di sottosuolo E** (tabella 3.2.II del D.M. 14 gennaio 2008):

"Terreni dei sottosuoli di tipo C o D per spessore non superiore a 20 m, posti sul substrato di riferimento (con  $V_s > 800 \text{ m/s}$ )".

Per il sito posto in corrispondenza del punto di esecuzione del sondaggio S2 è stata attribuita la **categoria di sottosuolo B** (tabella 3.2.II del D.M. 14 gennaio 2008):

"Rocce tenere e depositi di terreni a grana grossa molto addensati o terreni a grana fine molto consistenti con spessori superiori a 30 m, caratterizzati da un graduale miglioramento delle proprietà meccaniche con la profondità e da valori di V<sub>s,30</sub> compresi tra 360 m/s e 800 m/s (ovvero  $N_{SPT.30} > 50$  nei terreni a grana grossa e  $c_{u.30} > 250$ 

kPa nei terreni a grana fina".

In fase esecutive le categorie di sottosuolo assegnate potranno essere riviste a seguito dell'esecuzione di specifiche indagini geofisiche.

6.2.3 Categoria topografica

Per la determinazione della categoria topografica, ai sensi della tabella 3.2.IV del D.M. 14 gennaio 2008, viene assegnata la T2 all'intera area TR4 ("pendii con inclinazione media i>15°") a cui corrisponde un coefficiente di amplificazione topografica  $S_T$  pari a 1,2.

6.2.4 Determinazione dei parametri sismici e calcolo dei coefficienti sismici

Si riporta di seguito il report riassuntivo ottenuto mediante il software Geostru PS Parametri sismici v.1.5.

In corrispondenza della verticale S1:

Tipo di elaborazione: Stabilità dei pendii

#### Sito in esame:

Latitudine: 43,898913 Longitudine: 11,51921

Classe: 2

Vita nominale: 50

#### Siti di riferimento:

Sito 1	ID: 19396	Lat: 43,9176	Lon: 11,4776	Distanza: 3931,716
Sito 2	ID: 19397	Lat: 43,9188	Lon: 11,5469	Distanza: 3134,321
Sito 3	ID: 19619	Lat: 43,8688	Lon: 11,5485	Distanza: 4088,833
Sito 4	ID: 19618	Lat: 43,8677	Lon: 11,4792	Distanza: 4729,064

#### Parametri sismici:

Categoria sottosuolo: E
Categoria topografica: T2
Periodo di riferimento: 50 anni

Coefficiente cu: 1

Operatività (SLO):

Probabilità di superamento: 81 %

Tr: 30 anni ag: 0,062 g Fo: 2,457 Tc\*: 0,260 s

Danno (SLD):

Probabilità di superamento: 63 %

Tr: 50 anni ag: 0,080 g Fo: 2,429 Tc\*: 0,267 s

Salvaguardia della vita (SLV):

Probabilità di superamento: 10 %

Tr: 475 anni ag: 0,197 g Fo: 2,382 Tc\*: 0,288 s

Prevenzione dal collasso (SLC):

Probabilità di superamento: 5 %

Tr: 975 anni ag: 0,251 g Fo: 2,393 Tc\*: 0,295 s

#### Coefficienti Sismici:

SLO:

Ss: 1,600 Cc: 1,970 St: 1,200

Kh: 0,024 Kv: 0,012 Amax: 1,174

Beta: 0,200

SLD:

Ss: 1,600 Cc: 1,950 St: 1,200 Kh: 0,031 Kv: 0,015 Amax: 1,508

Beta: 0,200

SLV:

Ss: 1,480 Cc: 1,890 St: 1,200 Kh: 0,084 Kv: 0,042 Amax: 3,440 Beta: 0,240

SLC:

Ss: 1,340 Cc: 1,870 St: 1,200 Kh: 0,113 Kv: 0,057 Amax: 3,965 Beta: 0,280

Il report riassuntivo dei parametri sismici calcolati in corrispondenza del punto del <u>sondaggio S2</u> è il seguente:

Tipo di elaborazione: Stabilità dei pendii

Sito in esame:

Latitudine: 43,899671 Longitudine: 11,518974

Classe: 2

Vita nominale: 50

#### Siti di riferimento:

Sito 1	ID: 19396	Lat: 43,9176	Lon: 11,4776	Distanza: 3871,510
Sito 2	ID: 19397	Lat: 43,9188	Lon: 11,5469	Distanza: 3089,034
Sito 3	ID: 19619	Lat: 43,8688	Lon: 11,5485	Distanza: 4168,801
Sito 4	ID: 19618	Lat: 43,8677	Lon: 11,4792	Distanza: 4778,689

#### Parametri sismici:

Categoria sottosuolo: B
Categoria topografica: T2
Periodo di riferimento: 50 anni

Coefficiente cu: 1

Operatività (SLO):

Probabilità di superamento: 81 %

Tr: 30 anni ag: 0,062 g Fo: 2,456 Tc\*: 0,260 s

Danno (SLD):

Probabilità di superamento: 63 %

Tr: 50 anni ag: 0,080 g Fo: 2,429 Tc\*: 0,267 s

Salvaguardia della vita (SLV):

Probabilità di superamento: 10 %

Tr: 475 anni ag: 0,198 g Fo: 2,382 Tc\*: 0,288 s

Prevenzione dal collasso (SLC):

Probabilità di superamento: 5 %

Tr: 975 anni ag: 0,252 g Fo: 2,393 Tc\*: 0,295 s

#### Coefficienti Sismici:

SLO:

Ss: 1,200 Cc: 1,440 St: 1,200

Kh: 0,018

Kv: 0,009

Amax: 0,882 Beta: 0,200

SLD:

Ss: 1,200

Cc: 1,430

St: 1,200

Kh: 0,023

Kv: 0,012

Amax: 1,132

Beta: 0,200

SLV:

Ss: 1,200

Cc: 1,410

St: 1,200

Kh: 0,068

Kv: 0,034

Amax: 2,791

Beta: 0,240

SLC:

Ss: 1,160

Cc: 1,400

St: 1,200

Kh: 0,098

Kv: 0,049

Amax: 3,435

Beta: 0,280

#### 6.3 Verifiche di stabilità del versante

Sono state eseguite le verifiche di stabilità del versante nello stato attuale ed in quello di progetto. Ai fini della presente relazione, non avendo a disposizione dati di progetto reali, le opere da realizzare ed i movimenti terra sono stati solamente ipotizzati in base a quanto indicato nella scheda di progetto dell'area TR4 e in base all'esperienza dello scrivente. Per eseguire l'analisi numerica è stato utilizzato il software SSAP2010 (Slope Stability Analysis Program) versione 4.1.0. Il calcolo di Fs con SSAP è basato sul metodo dell'equilibrio limite. L'algoritmo di calcolo deriva dall'implementazione di quello proposto da Zhu et al. (2005). Nel calcolo di Fs il programma SSAP tiene in considerazione anche delle forze di interazione tra i conci. Nel sistema di equazioni non lineari che permettono di ottenere il valore dell'incognita Fs, la presenza delle forze interconcio implica l'introduzione dell'incognita  $\lambda$ , variabile ausiliaria espressa in forma implicita, così come Fs, in entrambi i membri delle equazioni. Il sistema di equazioni, pertanto, viene risolto iterativamente ripetendo i calcoli fino a convergenza, fino quando la differenza tra Fs e I calcolati diventa minore di un valore standard, generalmente assunto pari a 0,001. Per l'utilizzo di SSAP in primo luogo è stato assemblato il modello del terreno, introducendo i punti del profilo topografico (ottenuto in base al rilievo planoaltimetrico eseguito con strumentazione GPS) e quelli che individuano i singoli strati dei due modelli geologici. Successivamente sono stati attribuiti i valori caratteristici ai parametri geotecnici, ridotti in entrata applicando i coefficienti parziali di cui alla tabella 6.2.II del D.M. 14 gennaio 2008 (pari a 1,25 per tangf'<sub>k</sub> e c<sub>k</sub>' e a 1,40 per c<sub>uk</sub>), nel rispetto dell'approccio 1 combinazione 2 (A2+M2+R2). Le verifiche sono state eseguite applicando il metodo pseudostatico ed i coefficienti amplificatori delle azioni sismiche. Lo stato limite di riferimento è lo Stato Limite di Salvaguardia della Vita (SLV). Una volta assemblato il modello è stato scelto il motore di ricerca delle superfici di scivolamento (algoritmi) tra i tre proposti. Indipendentemente dal motore (algoritmo) scelto, le superfici di scivolamento individuate dal programma sono sempre di forma composita. Il motore di generazione e ricerca delle superfici di

## TERRA & OPERE S.R.L. società d'ingegneria consulenze geologiche

scivolamento impiegato ai fini della presente relazione è il convex random search, basato sull'algoritmo di Chen (1992). Successivamente sono state scelte le opzioni di analisi; in particolare è stata attivata l'opzione attrattore dinamico (range dinamico), mediante la quale il programma riduce automaticamente la zona di ricerca delle superfici di scivolamento cinematicamente possibili fino a concentrare il calcolo ad una zona critica.

#### 6.3.1 Esecuzione delle verifiche di stabilità: stato attuale

Viste le caratteristiche dei terreni costituenti i due modelli geologici proposti, le analisi numeriche di stabilità del versante sono state eseguite in condizioni drenate lungo entrambe le sezioni ed in condizioni non drenate lungo la sola sezione 1-1'. Il metodo di calcolo di Fs impiegato per tutte le verifiche è quello di Morgenstern & Price (1965), applicabile a superfici di forma composita. La particolarità del metodo è che la massa di terreno viene suddivisa in strisce infinitesime alle quali vengono imposte le equazioni di equilibrio alla traslazione orizzontale e verticale e di rottura sulla base delle strisce stesse. Si perviene ad una prima equazione differenziale (delle forze) che lega le forze d'interfaccia incognite, il coefficiente di sicurezza Fs ed il peso della striscia infinitesima dW. Una seconda equazione (dei momenti), impone la condizione di equilibrio alla rotazione rispetto alla mezzeria della base. Le due equazioni vengono estese per integrazione a tutta la massa interessata dallo scivolamento. Le verifiche sono state eseguite in condizioni sismiche (stato limite di riferimento: SLV), introducendo un coefficiente sismico orizzontale pari a 0,084 lungo la sezione 1-1' e pari a 0,068 lungo la sezione 2-2'. Si è ottenuto un valore di Fs minimo in condizioni drenate pari a 1,390 lungo la sezione 1-1' (figura 3), mentre Fs minimo lungo la sezione 2-2' è risultato pari a 2,355 (figura 5). In condizioni non drenate si è ottenuto un valore di Fs minimo pari a 1,560 lungo la sezione 1-1' (figura 4). Le tracce delle sezioni sono riportate in figura 2, mentre il report numerico delle verifiche eseguite è riportato nell'allegato D.

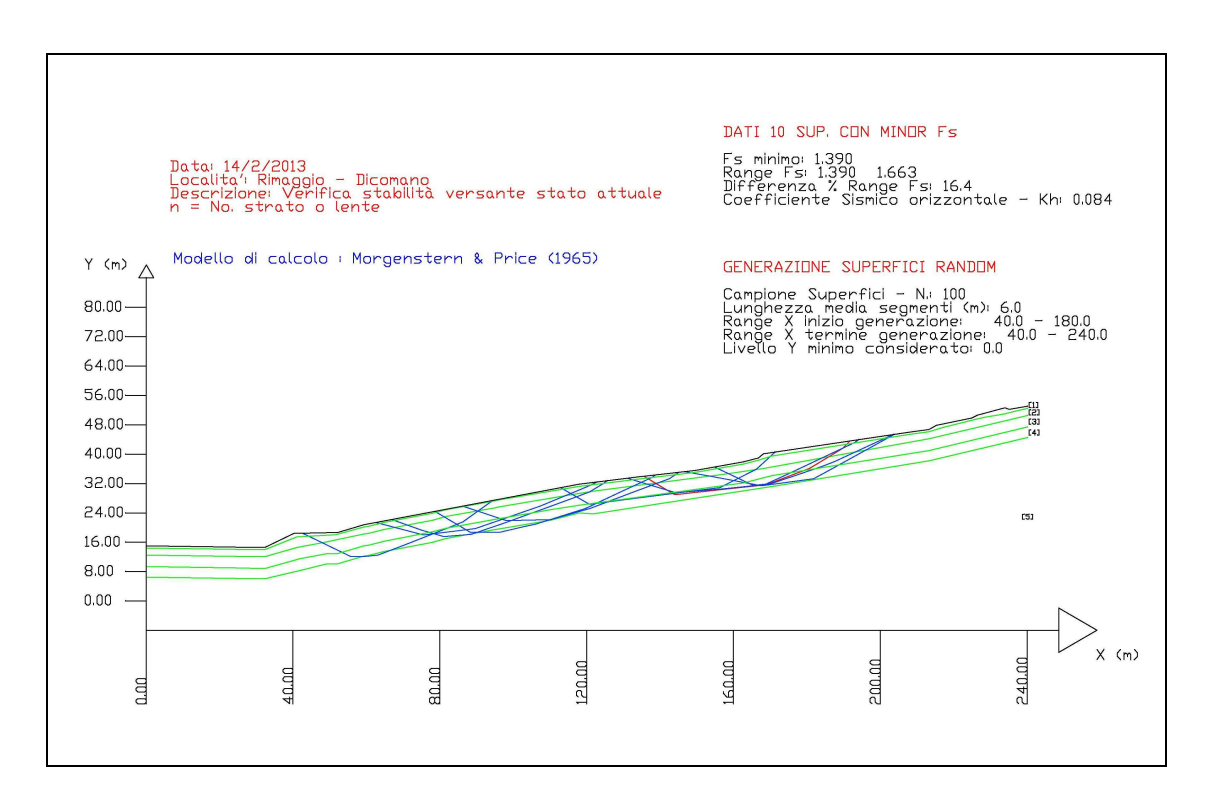


Figura 3: Output della verifica di stabilità in condizione drenate (stato attuale) eseguita lungo la sezione 1-1' (traccia in figura 2). In rosso è riportata la superficie di scorrimento critica.

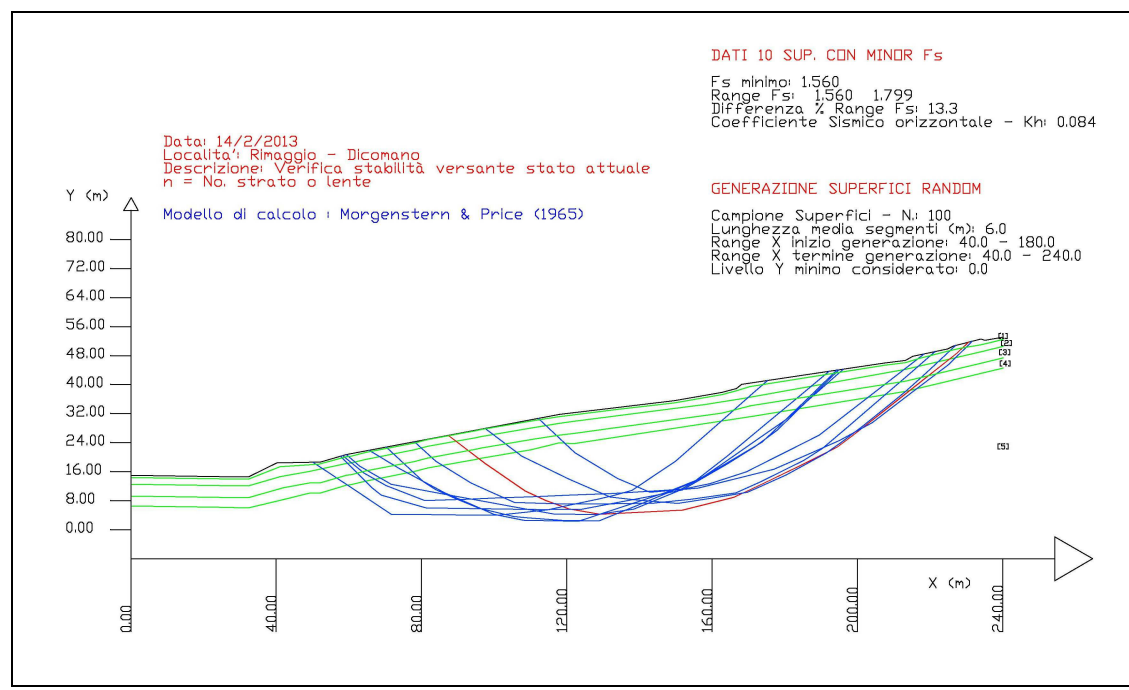


Figura 4: Output della verifica di stabilità in condizione non drenate (stato attuale) eseguita lungo la sezione 1-1' (traccia in figura 2). In rosso è riportata la superficie di scorrimento critica.

# TERRA & OPERE S.R.L. società d'ingegneria consulenze geologiche

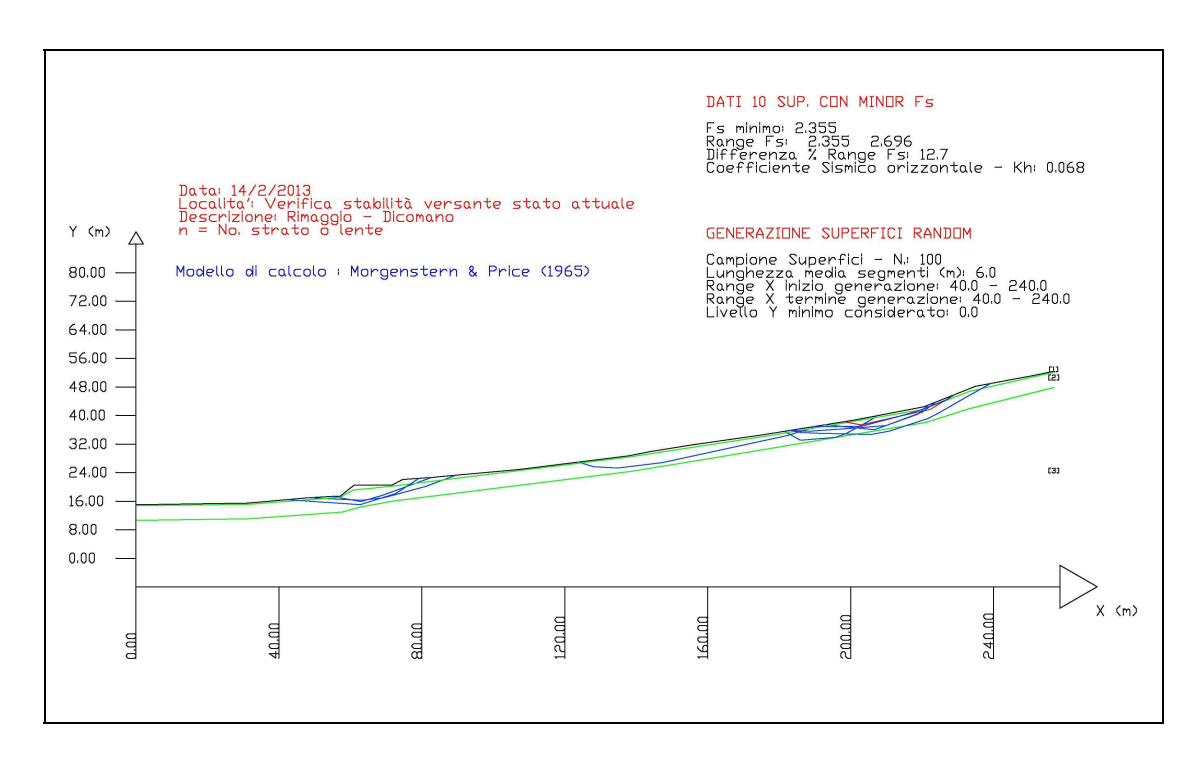


Figura 5: Output della verifica di stabilità in condizione drenate (stato attuale) eseguita lungo la sezione 2-2' (traccia in figura 2). In rosso è riportata la superficie di scorrimento critica.

#### 6.3.2 Esecuzione delle verifiche di stabilità: stato di progetto

Le verifiche sono state effettuate in condizioni drenate ed in condizioni non drenate lungo la sezione 1-1' e nelle sole condizioni drenate lungo la sezione 2-2'. In entrambe le sezioni è stato inserito un carico ipotetico esercitato dagli edifici di progetto, posto cautelativamente pari a 1,2 kg/cm² (118 kPa). Poiché la traccia della sezione 2-2' attraversa uno solo degli edifici di progetto, la rappresentazione dell'edificio di valle è una proiezione dello stesso lungo la sezione 2-2'; ciononostante, in via cautelativa, è stato considerato anche l'effetto del carico esercitato dall'edificio di valle. La posizione degli edifici lungo le due sezioni di progetto è quella riportata nella scheda di progetto dell'area TR4 (figura 2).

Ai fini della verifica di stabilità, è stata prevista la realizzazione degli edifici su due livelli differenti, in modo da limitare la movimentazione del terreno. E' stata prevista la realizzazione di un interrato di altezza massima pari a 2,40 m. Nelle sezioni di progetto sono stati inseriti alcuni muri di sostegno nei

punti in cui sono prevedibili movimentazioni di terreno per realizzare i parcheggi (muri 9, 10 e 11 della sezione 1-1'), della viabilità interna (muro 6 della sezione 1-1' e muri 4 e 7 della sezione 7-7') e dello scavo ipotizzato per la realizzazione del piano interrato degli edifici (muri 7 e 8 della sezione 1-1' e muri 5 e 6 della sezione 2-2', a monte degli sbancamenti), senza introdurre, in via cautelativa, i vari muri di cantina. Per far "riconoscere" al programma la presenza delle opere di sostegno introdotte lungo le sezioni, le opere sono state disegnate come lenti di terreno, con peso di volume pari a quello del calcestruzzo (25 kN/m²) ed elevati valori di resistenza al taglio. Così facendo, poiché sono riconosciute dal codice di calcolo SSAP come elementi rigidi, non sono attraversate dalle superfici di scorrimento individuate dal programma. Le opere di sostegno introdotte nelle due sezioni di progetto sono solamente schematizzate: non sono state disegnate mensole e/o eventuali pali di fondazione.

Così come nello stato attuale, il metodo di calcolo di Fs impiegato è quello di Morgenstern & Price (1965) e le verifiche sono state eseguite in condizioni sismiche (stato limite di riferimento: SLV).

Mediante tale metodo di calcolo si è ottenuto un valore di Fs minimo in condizioni drenate pari a 1,215 lungo la sezione 1-1' (figura 6), mentre Fs minimo lungo la sezione 2-2' è risultato pari a 1,978 (figura 8).

In condizioni non drenate si è ottenuto un valore di Fs minimo pari a 1,325 lungo la sezione 1-1' (figura 7).

Per valutare l'effetto del carico di esercizio sulla stabilità del versante, le verifiche lungo la sezione 1-1' sono state eseguite in condizioni drenate inserendo valori del carichi di esercizio degli edifici maggiori e minori rispetto a quello ipotizzato (1,2 kg/cm²).

Inserendo carichi superiori a 1,2 kg/cm² per ciascun edificio, sono stati ottenuti valori di Fs=1,133 con 1,3 kg/cm² per ciascun edificio e di Fs=1,118 con 1,4 kg/cm² per ciascun edificio. Con un carico pari 1,5 kg/cm² per ciascun edificio si è ottenuto un Fs inferiore a 1 (0,961).

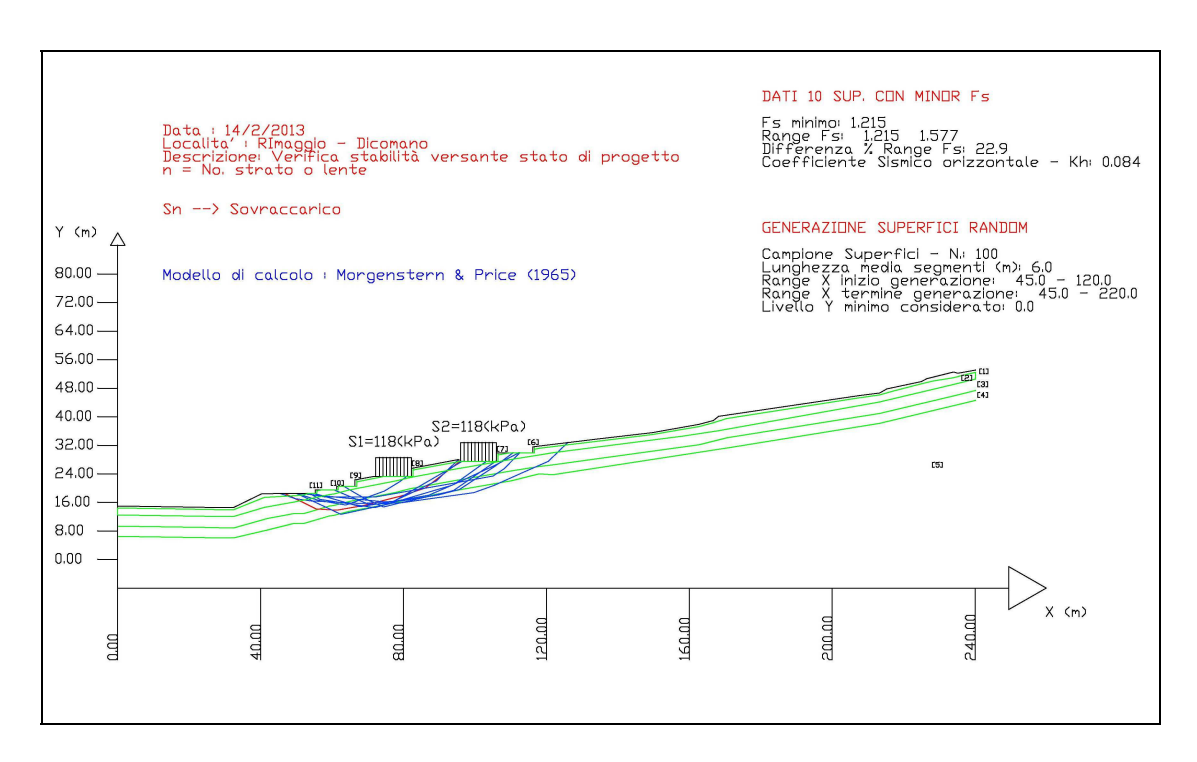


Figura 6: Output della verifica di stabilità in condizione drenate (stato di progetto) eseguita lungo la sezione 1-1' (traccia in figura 2). In rosso è riportata la superficie di scorrimento critica.

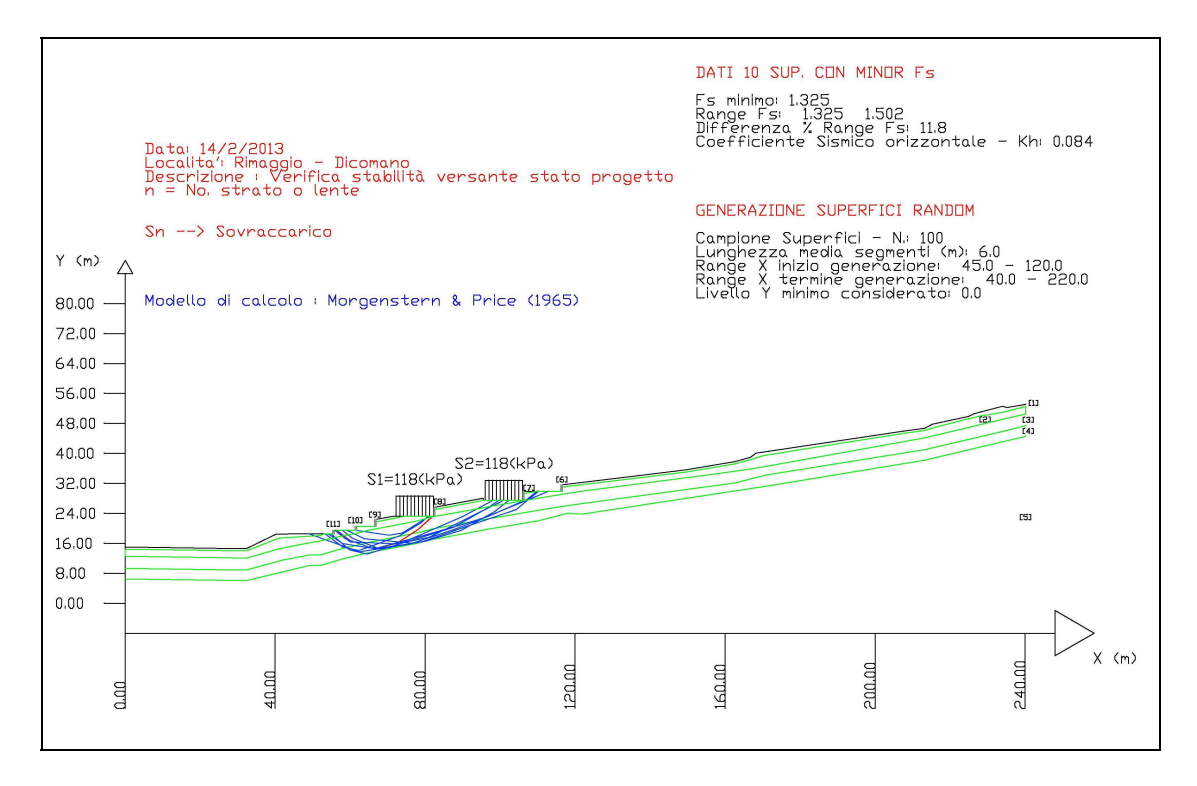


Figura 7: Output della verifica di stabilità in condizione non drenate (stato di progetto) eseguita lungo la sezione 1-1' (traccia in figura 2). In rosso è riportata la superficie di scorrimento critica.

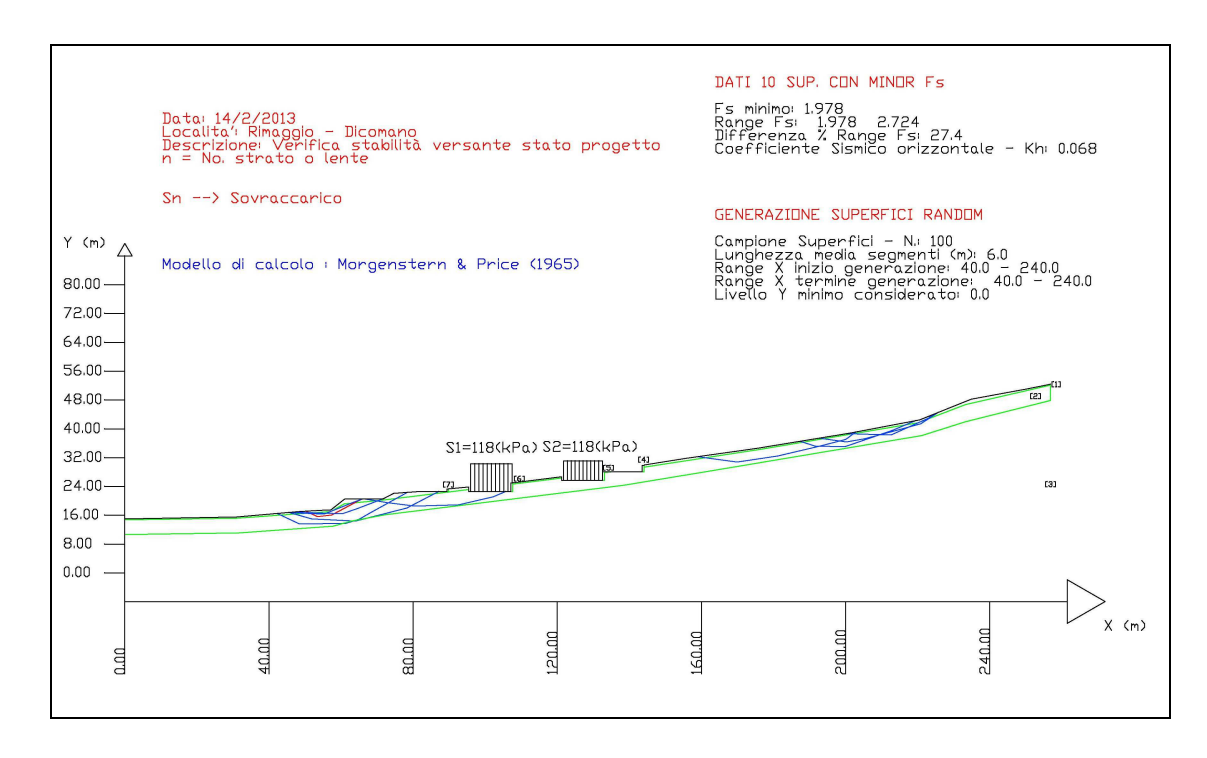


Figura 8: Output della verifica di stabilità in condizione drenate (stato di progetto) eseguita lungo la sezione 2-2' (traccia in figura 2). In rosso è riportata la superficie di scorrimento critica.

Inserendo carichi inferiori a 1,2 kg/cm² per ciascun edificio sono stati ottenuti valori di Fs sempre superiori 1,1 (Fs=1,251 con 1,1 kg/cm² per ciascun edificio; Fs=1,145 con 1,0 kg/cm² per ciascun edificio; Fs=1,280 con 0,9 kg/cm² per ciascun edificio; Fs=1,289 con 0,8 kg/cm² per ciascun edificio). Da ciò si è dedotto che esiste un carico di esercizio massimo ottimale (circa 1,2 kg/cm² per ciascun edificio) sopra al quale Fs diminuisce gradualmente.

#### 7 CONCLUSIONI

I rilievi di campagna effettuati ai fini della presente relazione in località Rimaggio (Via Bazzi), a nord del centro abitato di Dicomano (Provincia di Firenze), hanno permesso di realizzare la carta geomorfologica di dettaglio riportata in figura 1, nella quale si evince la presenza di poche forme, in particolare di scarpate naturali ed antropiche. Nel terreno non ci sono evidenze del soliflusso cartografato a monte dell'area TR4 nella Carta Geomorfologica

redatta a supporto del Piano Strutturale del Comune di Dicomano, anche perché in quel settore del versante la roccia è sub-affiorante.

Le indagini geognostiche hanno messo in evidenza la presenza di terreni sciolti nella porzione meridionale dell'area TR4 e di roccia sub-affiorante nel settore settentrionale. Sono stati pertanto proposti due modelli geologici differenti con lo scopo di eseguire le verifiche di stabilità del versante nello stato attuale e nello stato di progetto, prevedendo modesti movimenti di terreno per la realizzazione degli edifici e delle opere di urbanizzazione. Le analisi numeriche di stabilità del versante, eseguite lungo le due sezioni riportate in figura 2 (in condizioni drenate lungo entrambe le sezioni ed in condizioni non drenate per la sola sezione 1-1'), sono tutte verificate ai sensi del D.M 14 gennaio 2008, in quanto la resistenza di progetto ottenuta è sempre maggiore dell'azione ipotizzata.

I due modelli geologici proposti per il settore nord e per quello sud dell'area TR4 sono tra loro molto differenti e ciò si riflette nei risultati ottenuti mediante le verifiche di stabilità. In fase attuativa ed esecutiva i modelli geologici dovranno essere implementati con dati ottenuti da ulteriori indagini geotecniche e geofisiche, tese a definire il volume complessivo dei terreni sciolti presenti a sud dell'area TR4 e le modalità con cui avviene la transizione tra questi ed il substrato roccioso, sub-affiorante nel settore nord.

Per quanto concerne i risultati delle verifiche di stabilità eseguite, lungo la sezione 1-1' (settore meridionale dell'area TR4), il valore di Fs ottenuto nello stato di progetto è di poco superiore a 1,2 in condizioni drenate e maggiore a 1,3 in condizioni non drenate. Come dimostra la posizione della superficie di scorrimento critica individuata dal codice di calcolo SSAP (figure 6 e 7), la diminuzione del coefficiente Fs rispetto allo stato attuale sembra influenzata, oltre che da movimento terra, dall'entità del carico unitario esercitato dagli edifici sul terreno stesso. Questo aspetto è stato approfondito inserendo carichi di esercizio differenti da 1,2 kg/cm² ed i risultati ottenuti sono stati discussi al termine del paragrafo 6.3.2 della presente relazione. Fermo restando che nello stato di progetto, ai fini della presente relazione, l'entità dei movimenti terra ed il

TERRA & OPERE S.R.L. società d'ingegneria

CONSULENZE GEOLOGICHE

dimensionamento e la tipologia delle opere è stato solo ipotizzato, avendo a

disposizione solo le previsioni di edificazione all'interno dell'area TR4 e nessun

dato architettonico e strutturale, si ritiene di fondamentale importanza che nella

fase attuativa ed in quella esecutiva venga valutata attentamente la stabilità del

versante in rapporto all'entità del carico unitario esercitato da ciascuna opera

prevista all'interno dell'area TR4 e, di conseguenza, siano dimensionati

correttamente gli scavi necessari alla posa in opera delle fondazioni, le altezze

in gronda degli edifici e le opere di sostegno.

Per quanto concerne il settore nord del comparto TR4, invece, il valore

di Fs ottenuto nello stato di progetto (1,978), sebbene inferiore a quello

ottenuto nello stato attuale (2,355), è comunque elevato e ciò è giustificato

dalla presenza di roccia sub-affiorante. Ciononostante, così come nel settore

meridionale, i movimenti terra dovranno essere limitati e si dovranno comunque

prevedere opere di sostegno di dimensioni e tipologia adeguate.

San Giovanni Valdarno, 14 febbraio 2013

Dott. Geol. Michele Sani

APPROFONDIMENTO DI INDAGINE LOCALITÀ RIMAGGIO – VIA BAZZI (AREA TR4) COMUNE DI DICOMANO (FI)

33

### 8 ALLEGATI

- A Scheda Norma Area TR4 (Rimaggio Via Bazzi)
- B Stratigrafia dei sondaggi S1 e S2 con documentazione fotografia
- C Certificati delle prove geotecniche di laboratorio
- D Report delle verifiche di stabilità del versante

# TERRA & OPERE S.R.L. società d'ingegneria consulenze geologiche

A - Scheda Norma - Area TR4 (Rimaggio - Via Bazzi)

Comune di Dicomano

Utoe 10

#### Regolamento urbanistico

#### AREA DI TRASFORMAZIONE E RISANAMENTO URBANISTICO TR4 DICOMANO - Rimaggio Via Bazzi INTEGRAZIONE RESIDENZIALE OBIETTIVI E Terreno inedificato ai piedi del versante collinare DESCRIZIONE DEL svolge un ruolo di cerniera tra la zona produttiva e quella prevalentemente residenziale **PROGETTO** L'intervento si propone di realizzare un nuovo insediamento residenziale, in parte destinato ad alloggi con finalità sociali, integrato da aree ad uso pubblico (piazze, aree verdi, parcheggi) che articolano il nuovo insedimento collegandolo al tessuto edificato limitrofo. L'intervento si pone anche l'obiettivo di razionalizzare e completare la rete viaria urbana SUPERFICIE St = 11.885 ma**TERRITORIALE** AREA DI CESSIONE ACc = almeno 6100 mg

#### DIMENSIONAMENTO E DESTINAZIONI D'USO

**COMPENSATIVA** 

Il dimensionamento della nuova edificazione deriva dalle quantità previste dalla previgente strumentazione urbanistica modificata dal PS e dal presente RU

Dimensionamento dell'intervento:

- Superficie Utile Lorda massima di nuova edificazione = 2244 mq (compresa la quota per finalità sociali).
- Trasferimento di volumetria = 500mg

Ai fini della ricostruzione il Volume (V) legittimo esistente degli edifici oggetto di trasferimento di volumetria è determinato sulla base di perizia giurata

Numero di piani = 2

#### - Altezza massima = 6.50 ml Destinazioni d'uso consentite:

- Residenziale (compresa la quota per finalità sociali).
- Esercizi commerciali di vicinato (eventuali) nella misura massima del 20% della Sul complessiva, realizzabili esclusivamente negli spazi localizzati al piano terra.

#### DISPOSIZIONI

L'assetto insediativo dell'area di trasformazione è definito da Piano attuativo di iniziativa privata convenzionato che dovrà caratterizzare sotto il profilo architettonico l'edificio e dovrà inserirlo nel contesto di riferimento. Il Piano Attuativo è corredato da specifici studi di inserimento paesaggistico e da una dettagliata progettazione delle sistemazioni esterne (piazze e spazi verdi) di uso pubblico e privato.

La convenzione, che regolamenta le realizzazioni previste dal Piano Attuativo, e alla cui stipula è subordinato il rilascio e/o l'efficacia dei titoli abilitativi.

- -garantisce la corretta e completa realizzazione dell'intervento e il mantenimento delle destinazioni d'uso previste;
- -disciplina il regime giuridico dei suoli, e definisce le modalità di cessione gratuita all'Amministrazione Comunale delle aree interne al comparto sotto indicate;
- -definisce le eventuali modalità di acquisizione e cessione gratuita all'Amministrazione Comunale dell'edifici e delle loro aree di pertinenza, esterni al comparto posti in via Frittelli, e delle eventuali opere di riqualificazione e delle aree;
- -definisce le modalità di cessione gratuita all'Amministrazione Comunale dell'area esterna al

Comune di Dicomano

Utoe 10

# Regolamento urbanistico

comparto destinata a parcheggio pubblico posta alle spalle della stazione di Dicomano così come definito nell'area di Riqualificazione ambientale RA4

-individua le opere obbligatorie di carattere pubblico, con le relative forme di garanzia, (ivi compresi gli interventi da realizzarsi a scomputo degli oneri di urbanizzazione dovuti);

-stabilisce gli obblighi relativi alla quota di edilizia residenziale con finalità sociali

L'intervento non può comportare la realizzazione di unità immobiliari di Superficie Utile Abitabile (Sua) inferiore a 60 mq, fatta eccezione per la quota di edilizia residenziale con finalità sociali, che può comprendere anche alloggi con Sua netta inferiore.

L'intervento tiene conto in maniera sostanziale dei requisiti tipologici, costruttivi ed impiantistici dettati dalle vigenti norme regionali in materia di edilizia sostenibile.

TUTELA DEGLI ELEMENTI FONDATIVI DEL PATRIMONIO AMBIENTALE E INSEDIATIVO Nell'area TR5 non sono presenti invarianti strutturali individuate dal PS e disciplinate dal RU.

#### AREE E/O OPERE E/O ATTREZZATURE PUBBLICHE E/O DI INTERESSE PUBBLICO

La realizzazione degli interventi di interesse privato,

- è subordinato alla contestuale realizzazione
- delle opere, interne o esterne alla scheda norma, necessarie ad allacciare l'area ai pubblici servizi quali strade di collegamento al nuovo insediamento e impianti a rete (adduzione idrica, fognature, linea telefonica, impianto del gas,

pubblica illuminazione ecc...)

- in luogo della realizzazione delle opere di urbanizzazione primaria riferibili alla realizzazione degli standard di cui DM 1444 così come determinato dall'art'46 del PS e dall'art.67 del RU, è subordinato
  - alla realizzazione delle seguenti opere pubbliche o di interesse pubblico interne al comparto e alla cessione gratuita delle relative aree all'Amministrazione comunale:
    - realizzazione delle aree a verde pubblico e della piazza verde
    - realizzazione di parcheggi pubblici (per il numero minimo di esemplari arborei da mettere a dimora vedi art 17; per materiali, specie arboree e arbustive v. ulteriori e più dettagliate disposizioni nel RE);
    - realizzazione di percorso pedonale
    - integrazione della viabilità pubblica con la realizzazione del collegamento stradale tra via Bazzi e via Vittorio Veneto
    - filare alberato lungo il confine (per materiali, specie arboree e arbustive v. ulteriori e più dettagliate disposizioni nel RE);
  - alla acquisizione realizzazione e cessione delle aree delle seguenti opere esterne al perimetro della scheda norma
    - cessione dell'area, esterna al comparto destinata a parcheggio pubblico posta alle spalle della

AREA DI TRASFORMAZIONE E RISANAMENTO URBANISTICO DICOMANO Rimaggio Via Bazzi

Comune di Dicomano

Utoe 10

# Regolamento urbanistico

stazione di Dicomano così come definito nell'area di Riqualificazione ambientale RA4(per materiali, specie arboree e arbustive v. ulteriori e più dettagliate disposizioni nel RE);

#### alla cessione gratuita

 degli edifici e delle aree di pertinenza, posti in via Frittelli identificati dagli ID Ui145 e Ui147

#### alla riqualificazione:

- degli edifici colonici identificati dagli ID Ui145 e Ui147 nel censimento del patrimonio edilizio
- del sentiero in quota che dalla Pieve di Santa Maria conduce a Rimaggio.

In sede di predisposizione di piano attuativo o progetto unitario l'Amministrazione Comunale può richiedere, in alternativa alle opere indicate, altre opere di pari importo economico valutate sulla base di un computo metrico estimativo.

In luogo della corresponsione, anche in quota parte, degli oneri di urbanizzazione secondaria dovuti in sede di rilascio dei permessi di costruire l'amministrazione potrà richiedere l'acquisizione e/o realizzazione e/o cessione di opere pubbliche e/o d'interesse poste in aree esterne alla delimitazione della scheda norma da utilizzare per futuri interventi di urbanizzazione primaria e/o secondaria da individuare in sede di convenzionamento

#### EDILIZIA RESIDENZIALE CON FINALITA' SOCIALI

Almeno il 10 % della superficie utile abitabile (SUA) realizzata con destinazione residenziale deve essere riservata ad alloggi in affitto, nel rispetto delle disposizione dell'art. 14.

#### DOTAZIONE PARCHEGGI PERTINENZIALI

La dotazione di parcheggi per la sosta stanziale e di relazione è dovuta nella misura e con le caratteristiche previste nell'art. 17.

#### FATTIBILITA' DEGLI INTERVENTI

L'area edificabile ricade in FG3; la piazza in FG2, il parcheggio in FG2 e FG3, il verde pubblico in FG1. La strada ricade in FG3. L'area edificabile ricade in FS3 (2A-8-11). La piazza ricade in FS2 (2A), i parcheggi ricadono rispettivamente in FS1 e in FS3 (8-11), il verde pubblico ricade in FS1 (8-11). La strada ricade in FS3 (8-11). Tutte le destinazioni ricadono in FI1. Per quanto riguarda la tipologia degli approfondimenti di indagine da eseguire in sede di predisposizione dei progetti edilizi per le aree ricadenti in classe FG3, sono richieste specifiche indagini geognostiche di dettaglio quali prove penetrometriche statiche e/o dinamiche, sondaggi a carotaggio continuo con esecuzione di SPT, prelievo di campioni indisturbati e relative indagini di laboratorio geotecnico, il tutto allo scopo di definire compiutamente le caratteristiche geotecniche e geomeccaniche dei terreni e procedere ai calcoli geotecnici e di eventuale stabilità del versante e/o dei fronti di scavo. Per guanto riguarda la tipologia degli approfondimenti di indagine per le aree ricadenti in FS3, da eseguire in sede di predisposizione dei progetti edilizi, con riferimento agli elementi di pericolosità sismica locale individuati, nel caso di aree caratterizzate da movimenti franosi quiescenti

# Regolamento urbanistico

(2A), oltre a rispettate le prescrizioni riportate nelle condizioni di fattibilità geomorfologica, devono essere realizzate opportune indagini geofisiche e geotecniche per la corretta definizione dell'azione sismica; nelle zone con possibile amplificazione sismica connesse al bordo della valle e/o aree di raccordo con il versante (8), deve essere prescritta campagna di indagini aeofisiche. opportunamente estesa ad un intorno significativo, che definisca in termini di geometrie la morfologia sepolta del bedrock sismico ed i contrasti di rigidità sismica (rapporti tra velocità sismiche in termini di Vsh delle coperture e del substrato): nelle zone con possibile amplificazione stratigrafica (11), deve essere prescritta una campagna di indagini geofisica e geotecnica che definisca spessori, geometrie e velocità sismiche dei litotipi sepolti al fine di valutare l'entità del contrasto di rigidità sismica dei terreni tra alluvioni e bedrock sismico.

Oltre alle indicazioni generiche riportate sopra dovrà essere rispettato quanto prescritto nella relazione datata 14 febbraio 2013, ed avente ad oggetto Approfondimento di indagine per il comparto TR5 Relazione geologica facente parte integrante degli elaborati del Regolamento Urbanistico.

Allo scopo del mantenimento e del miglioramento del reticolo minore di drenaggio, per ogni intervento da realizzarsi nel territorio, il cui progetto sarà presentato all'amministrazione comunale per l'approvazione, dovrà essere verificata la possibilità di procedere ad interventi tesi al miglioramento del deflusso del reticolo minore di drenaggio. Il miglioramento del reticolo minore di drenaggio potrà essere espletato eseguendo pulizie per la rimozione di ostacoli, evitando la crescita di alberi o arbusti che possano impedire il corretto deflusso delle acque ed

impedendo ostruzioni di qualsiasi genere. Inoltre laddove il reticolo minore non è presente oppure è stato abbandonato e nel corso degli anni ha perso la sua efficienza dovrà essere ricostituito.

# PRESCRIZIONI DELLA VALUTAZIONE INTEGRATA

Per la valutazione Integrata dell'intervento e per le prescrizioni e mitigazioni ambientali necessarie si rimanda all'elaborato di Regolamento Urbanistico "Rapporto di Valutazione Integrata.

#### MODALITA DI ATTUAZIONE

Piano Attuativo di iniziativa privata (art. 11).

Organo competente per l'approvazione: Consiglio Comunale.

#### DISCIPLINA IN ASSENZA DI PIANO ATTUATIVO O PROGETTO UNITARIO

In caso di scadenza del termine quinquennale dalla data di approvazione del Regolamento Urbanistico senza che sia stato approvato Piano Attuativo e comunque nelle more di approvazione del medesimo, alle aree comprese nella presente area di trasformazione si applica la seguente disciplina:

- Porzioni di terreno inedificate: "Aree agricole urbane" (art. 37). Non sono consentiti interventi che comportino mutamenti significativi della morfologia dei terreni
- Edifici di via Frittelli di classe 4: si applicano le disposizioni di cui all'art. 24 (Interventi ammessi sul patrimonio edilizio esistente dei centri urbani e dei centri rurali) purché purché non eccedano gli interventi C1 e non determino incremento del numero delle unità immobiliari e/o modifica della destinazione d'uso
- Aree di sedime degli edifici di via Frittelli: tessuto storico (art. 82)

Comune di Dicomano

Utoe 10

# Regolamento urbanistico

#### DISCIPLINA SUCCESSIVA ALLA REALIZZAZIONE DI PIANO ATTUATIVO O PROGETTO UNITARIO

Ad avvenuta ultimazione degli interventi previsti dal Piano Attuativo agli immobili e alle aree comprese nella presente area di trasformazione si applicano le seguenti disposizioni:

- Nuovo edificio (o complessi edilizi): Classe 7. Su di esso sono ammessi gli interventi di cui all'art. 24 (Interventi ammessi sul patrimonio edilizio esistente dei centri urbani e dei centri rurali) a condizione che non comportino aumenti di Superficie Utile Lorda, aumenti di Volume e Addizioni Funzionali
- Volumi Secondari di classe 10 (eventuali): si applicano le disposizioni di cui all'art. 24 (Interventi ammessi sul patrimonio edilizio esistente dei centri urbani e dei centri rurali)
- Aree di sedime dei nuovi edifici e delle relative aree pertinenziali: "Tessuto consolidato recente" art. 34.
- Edifici esistenti di classe 4 e aree di sedime e delle relative aree pertinenziali: "Aree ed attrezzature pubbliche destinate a standard – Servizi pubblici" art.67
- Verde pubblico attrezzato, piazza verde e parcheggi pubblici, servizi pubblici: "Aree e attrezzature pubbliche di interesse generale destinate a standard" art. 67.
- Viabilità carrabile pubblica: art 68 "Aree per infrastrutture pubbliche e relative fasce di rispetto".
- Alberature e filari (art. 40)



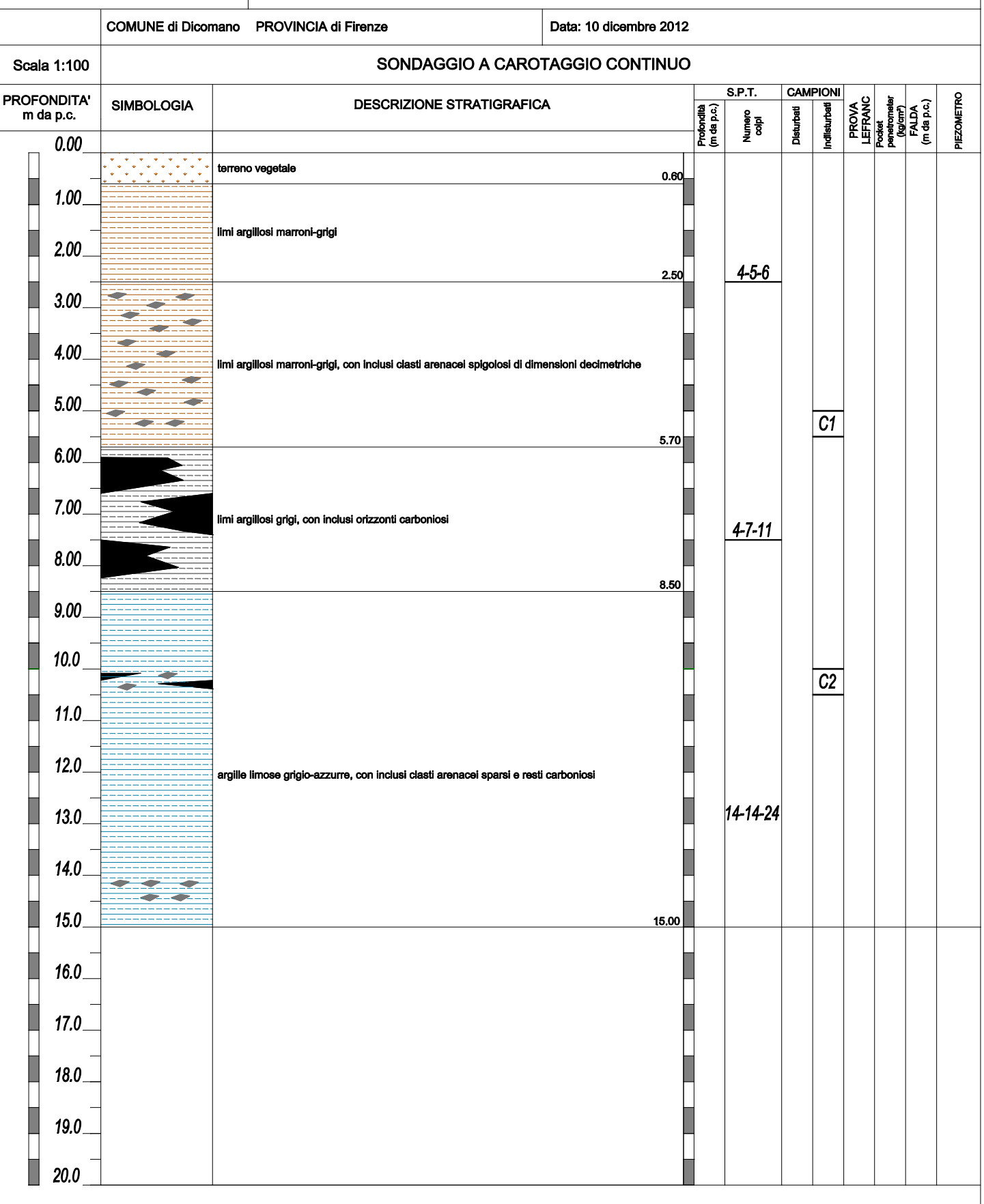


# TERRA & OPERE S.R.L. società d'ingegneria consulenze geologiche

B – Stratigrafia dei sondaggi S1 e S2 con documentazione fotografia



# SONDAGGIO S1



Ditta esecutrice: GEA di Borgioli e Matteini S.n.c. Via della Pratella n. 18/20 50056 Montelupo Florentino (FI) P.I.:01202980478

Attrezzatura: Sonda Boart Longyear Campionatore a pareti sottili tipo Shelby



# SONDAGGIO S2

COMUNE di Dicomano PROVINCIA di Firenze Data: 11 dicembre 2012 SONDAGGIO A CAROTAGGIO CONTINUO Scala 1:100 S.P.T. CAMPIONI PROFONDITA' SIMBOLOGIA **DESCRIZIONE STRATIGRAFICA** Profondità (m da p.c.) m da p.c. Numero colpí 0.00 terreno vegetale 0.30 1.00 limi sabbiosi marroni con clasti arenacei centimetrici sparsi 2.00 2.00 3.00 clasti arenacei spigolosi, anche pluridecimetrici, immersi in matrice sabbioso-limosa 4.00 5.00 substrato roccioso (arenarie marroni-grigie) 5.50 6.00 7.00 8.00 9.00 10.0 11.0 12.0 13.0 14.0 15.0 16.0 17.0 18.0 19.0 20.0

Ditta esecutrice: GEA di Borgioli e Matteini S.n.c. Via della Pratella n. 18/20 50056 Montelupo Fiorentino (FI) P.I.:01202980478

Attrezzatura: Sonda Boart Longyear Campionatore a pareti sottili tipo Shelby

# TERRA & OPERE S.R.L. SOCIETÀ D'INGEGNERIA CONSULENZE GEOLOGICHE



Foto 1: sondaggio S1 – carote da 0 a 5 m di profondità da p.c..



Foto 2: sondaggio S1 – carote da 5 a 10 m di profondità da p.c..

# TERRA & OPERE S.R.L. società d'ingegneria consulenze geologiche



Foto 3: sondaggio S1 – carote da 10 a 15 m di profondità da p.c..



Foto 4: sondaggio S2 – carote da 0 a 5 m di profondità da p.c..

# TERRA & OPERE S.R.L. SOCIETÀ D'INGEGNERIA CONSULENZE GEOLOGICHE



Foto 5: sondaggio S2 – carote da 5 a 5,5 m di profondità da p.c..

# TERRA & OPERE S.R.L. società d'ingegneria consulenze geologiche

C - Certificati delle prove geotecniche di laboratorio





Via Galeotti 3 - 50136 Firenze - Tel/fax 055 6505508 - www.laboratorioelleti.it - laboratorio.elleti@tiscali.it

CERTIFICATO N°

050-12

DATA 27/12/12 **PAGINA** 

1 / 21

VERBALE DI ACCETTAZIONE: 12051

DATA 15/12/12

COMMITTENTE

ATLANTE s.r.l. Via G. La Farina, 14 50132 Firenze

**RICHIEDENTE** 

dr geol. Michele Sani

PROVENIENZA (dlchiarata)

Via Bazzi - Rimaggio - Dicomano

**NUMERO CAMPIONI** 

#### **ELENCO PROVE ESEGUITE**

	Contras		Codice	<del>)</del>			Co	dici c	ماام	nrov	/O O	segu	iito (	2000	tto c	اما در	artifi.	nato		
Sond.	Camp.	Prof.	campio	ne			Col	aici (	Jelle	piov	<i>'</i> e e	segu	iite, t	Jgge	יווט כ	iei ce	HILLI	Jaio		
1	1	5,0-5,5	12051	01	-	G	ı	•	•	-	•	ELL	TG	-	-	-	-	ı	-	•
1	2	10,0-10,5	12051	02	-	G	ı	•	•	-	•	ELL	TG	-	-	-	-	ı	-	•
i																				

Simbologia: w=contenuto di acqua; G=peso di volume; Gs=peso specifico; GR=granulometria; LC= limite liquido e limite plastico; LR = limite di ritiro; BM= Blu di metilene; ELL= compres- sione semplice; TG= taglio diretto; ED= prova edometrica; RIG= prova di rigonfiamento; TX=prova triassiale; TT= taglio torsionale; K=permeabilità; CH= analisi chimiche; PC=prova di costipamento; cbr= CBR.

**OSSERVAZIONI** 

il Direttore Prof. Geol. Piero Foçardi





Via Galeotti 3 - 50136 Firenze - Tel/fax 055 6505508 - www.laboratorioelleti.it - laboratorio.elleti@tiscali.it

Certificato n°	050-12		Data	a	27/1	2/12		Pagina	2/2	1
Committente	ATLANTE S	s.r.l Via (	G. La	Farina, 14	l - 501	32 Firenz		3		
Richiedente	dr geol. Mic	chele Sani	i	•						
Provenienza	Via Bazzi -	Rimaggio	- Dic	omano						
Contenitore	fustella acc	iaio		Diametro (r	nm)	85	Lur	nghezza (c	m)	30
Contrassegno	So	nd. <b>1</b>	1 (	Camp.	1	Profondit	à (m)	;	5,0-5,5	
	DESCRIZIO	ONE DEL	CAM	PIONE E F	PROGI	RAMMA F	PROVE			
Data di apertura	del campione	•	15/12	/12						
Descrizione del c	campione:									
Limo argilloso b	oruno verdas	stro con in	ıclusi	arenacei.						
Classe di qualità	(	Q5								
Estagrafia dal sa	mniono (oo ri	abicata)								
Fotografia del ca	mpione (se n	chiesta)								
Ubicazione dei pi	rovini sottopo	sti ad ana	lisi (c	disegno no	n in sc	ala)				

Alto TG ELL

Basso

P.P.	V.T.
140 180 200	50 70

P.P. = Pocket penetrometer	(kPa)
V.T. = Vane test (kPa)	

OSSERVAZIONI:		

il Direttore
Prof. Geol. Piero Focardi





#### Via Galeotti 3 - 50136 Firenze - Tel/fax 055 6505508 - www.laboratorioelleti.it - laboratorio.elleti@tiscali.it

Certificato n°	050-12	Dat	a	27/12/12	Pagina	3 / 21
Verbale di acce	ettazione n°	12051	del	15/12/12	Prova numero	1205101 -G

Committente ATLANTE s.r.l. - Via G. La Farina, 14 - 50132 Firenze

Richiedente dr geol. Michele Sani Provenienza V. Bazzi - Dicomano

Contenitore fustella acciaio Diametro (mm) 85 Lunghezza (cm) 30

Contrassegno Sond. 1 Camp. 1 Profondità (m) 5,0-5,5

#### PESO DI VOLUME

(UNI CEN ISO/TS 17892/2)

Data di prova: **18/12/2012** 

Peso del terreno Volume del terreno	y cm <sup>3</sup>	168,35 85,27
Massa specifica	g/cm <sup>3</sup>	1,97
Peso di volume	kN/m <sup>3</sup>	19,36

il Direttore
Prof. Geol. Piero Focardi





#### Via Galeotti 3 - 50136 Firenze - Tel/fax 055 6505508 - www.laboratorioelleti.it - laboratorio.elleti@tiscali.it

#RIF!	050-12	Dat	a	27/12/12	Pagina	4 / 21
Verhale di accett	tazione nº	12051	امه	15/12/12	Prova numero	1205101 -FI I

Committente ATLANTE s.r.l. - Via G. La Farina, 14 - 50132 Firenze

Richiedente dr geol. Michele Sani Provenienza V. Bazzi - Dicomano

Contenitore fustella acciaio Diametro (mm) 85 Lunghezza (cm) 30

Contrassegno Sond. 1 Camp. 1 Profondità (m) 5,0-5,5

\_\_\_\_\_

#### PROVA DI COMPRESSIONE SEMPLICE

(ASTM D 2166)

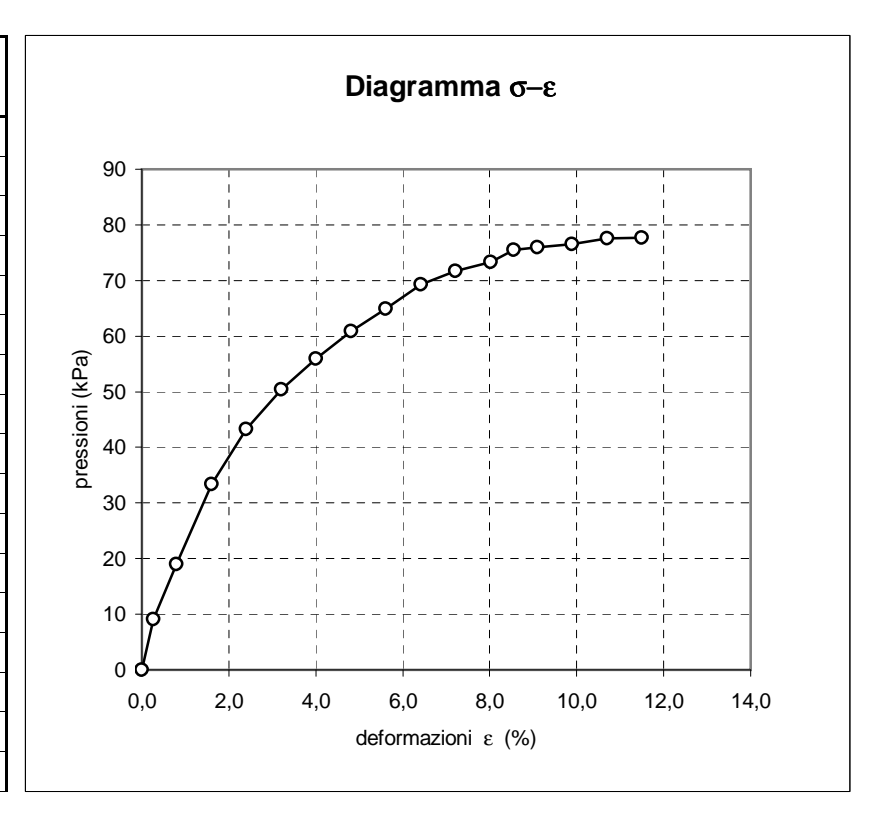
Inizio prova 18/12/12

Dimensioni iniziali altezza cm 7,48 VELOCITA' DI PROVA

sezione cm<sup>2</sup> 11,40 0,500 mm/min

Contenuto di acqua % 25,6 Peso di volume kN/m³ 19,4

Def.	Area	е	S
mm	cm <sup>2</sup>	%	kPa
0,00	11,40	0,0	0,0
0,20	11,43	0,3	9,0
0,60	11,49	0,8	18,9
1,20	11,58	1,6	33,3
1,80	11,68	2,4	43,3
2,40	11,77	3,2	50,4
3,00	11,87	4,0	55,9
3,60	11,97	4,8	60,9
4,20	12,07	5,6	64,9
4,80	12,18	6,4	69,2
5,40	12,28	7,2	71,7
6,00	12,39	8,0	73,3
6,40	12,46	8,6	75,5
6,80	12,53	9,1	75,9
7,40	12,65	9,9	76,6
8,00	12,76	10,7	77,6
8,60	12,88	11,5	77,7



STATO TENSIONALE A ROTTURA

Resistenza alla compressione Deformazione a rottura kPa 78 % 11,5

il Direttore
Prof. Geol. Piero Focardi

lo Sperimentatore Dr. Geol Alessandro Lugo



1



Via Galeotti 3 - 50136 Firenze - Tel/fax 055 6505508 - www.laboratorioelleti.it - laboratorio.elleti@tiscali.it

Certificato nº 050-12 Data 27/12/12 Pagina 5 / 21 Verbale di accettazione n° 12051 del 15/12/12 Prova numero 1205101 -TG/1

Committente ATLANTE s.r.l. - Via G. La Farina, 14 - 50132 Firenze

Richiedente dr geol. Michele Sani Provenienza V. Bazzi - Dicomano

Contenitore fustella acciaio Diametro (mm) 85 Lunghezza (cm) 30

Contrassegno Sond. Camp. 1 Profondità (m) 5,0-5,5

21,75

#### PROVA DI TAGLIO DIRETTO

(ASTM D 3080)

Data di prova inizio 15/12/12 termine 20/12/12

TEST DI CONSOLIDAZIONE SUL PROVINO NUMERO

altezza

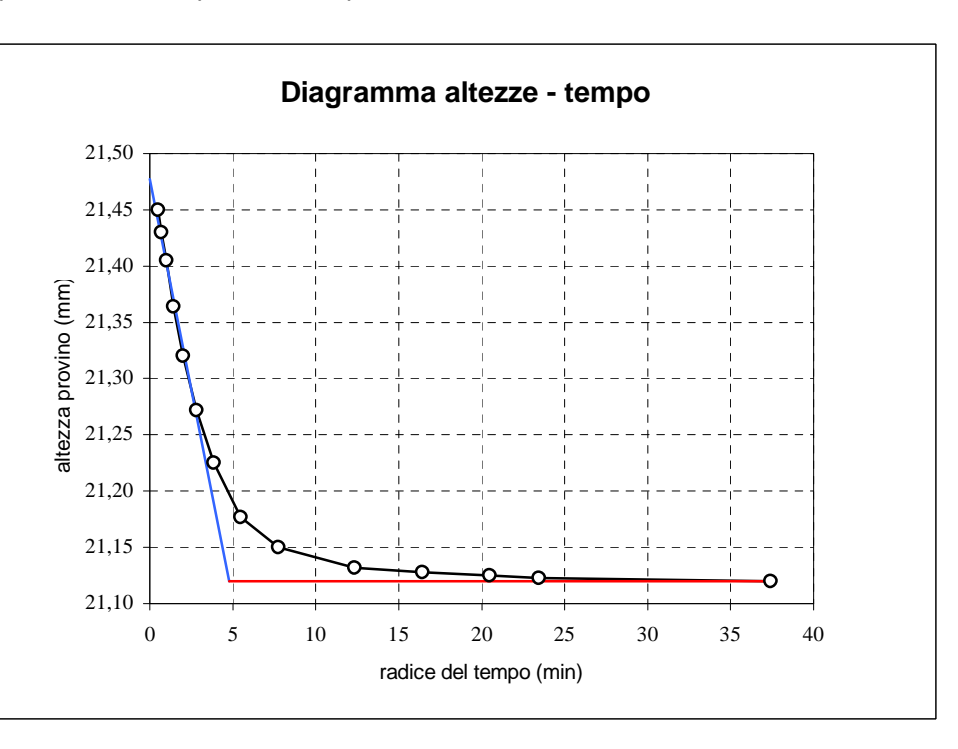
mm cm<sup>2</sup> 36,00 sezione

Pressione normale: kPa 100

Dimensioni iniziali

Drenaggio attraverso pietre porose situate sopra e sotto il provino.

t	Lett.	Н
(min)	mm	mm
0	5,82	21,75
0,25	5,52	21,45
0,5	5,50	21,43
1	5,48	21,41
2	5,43	21,36
4	5,39	21,32
8	5,34	21,27
15	5,30	21,23
30	5,25	21,18
60	5,22	21,15
152	5,20	21,13
270	5,20	21,13
420	5,20	21,13
550	5,19	21,12
1400	5,19	21,12



Tempo di consolidazione

 $t_{100}$  (min)

23

il Direttore Prof. Geol. Piero Focardi





Via Galeotti 3 - 50136 Firenze - Tel/fax 055 6505508 - www.laboratorioelleti.it - laboratorio.elleti@tiscali.it

Certificato n°	050-12	Data	27/12/12	Pagina	6 / 21
Verbale di accet	tazione n°	12051	Prova nume	ro / pagina prova	1205101 -TG/2
Committente	ATLANTE s.r.l.		Provenienza	V. Bazzi - Dicom	nano
Sondaggio n°	1	Campione n°	1	Prof. (metri)	5,0-5,5

#### **PROVA DI TAGLIO DIRETTO**

TEST DI CONSOLIDAZIONE SUL PROVINO NUMERO

2

Dimensioni iniziali

altezza

mm 21,75

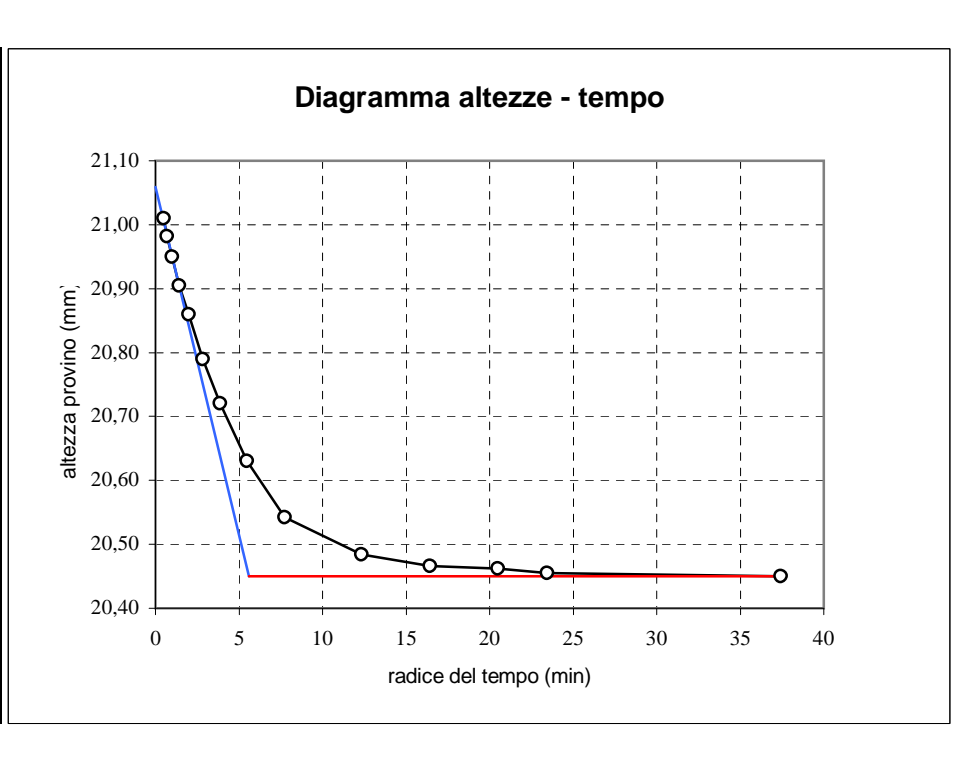
sez. cm2 36,00

Pressione normale:

kPa 200

Drenaggio attraverso pietre porose situate sopra e sotto il provino.

t	Lett.	Н
(min)	mm	mm
0	9,57	21,75
0,25	8,83	21,01
0,5	8,80	20,98
1	8,77	20,95
2	8,73	20,91
4	8,68	20,86
8	8,61	20,79
15	8,54	20,72
30	8,45	20,63
60	8,36	20,54
152	8,30	20,48
270	8,29	20,47
420	8,28	20,46
550	8,28	20,46
1400	8,27	20,45



Tempo di consolidazione

t<sub>100</sub> (min)

31

il Direttore Prof. Geol. Piero Focardi

lo Sperimentatore Dr. Geol Alessandro Lugo



3



Via Galeotti 3 - 50136 Firenze - Tel/fax 055 6505508 - www.laboratorioelleti.it - laboratorio.elleti@tiscali.it

Certificato n°	050-12	Data	27/12/12	Pagina	7 / 21
Verbale di acce	ttazione n°	12051	Prova nume	ero / pagina prova	1205101 -TG/3
Committente	ATLANTE s.r.l.		Provenienza	V. Bazzi - Dicon	nano
Sondaggio n°	1	Campione n°	1	Prof. (metri)	5,0-5,5

-----

#### **PROVA DI TAGLIO DIRETTO**

TEST DI CONSOLIDAZIONE SUL PROVINO NUMERO

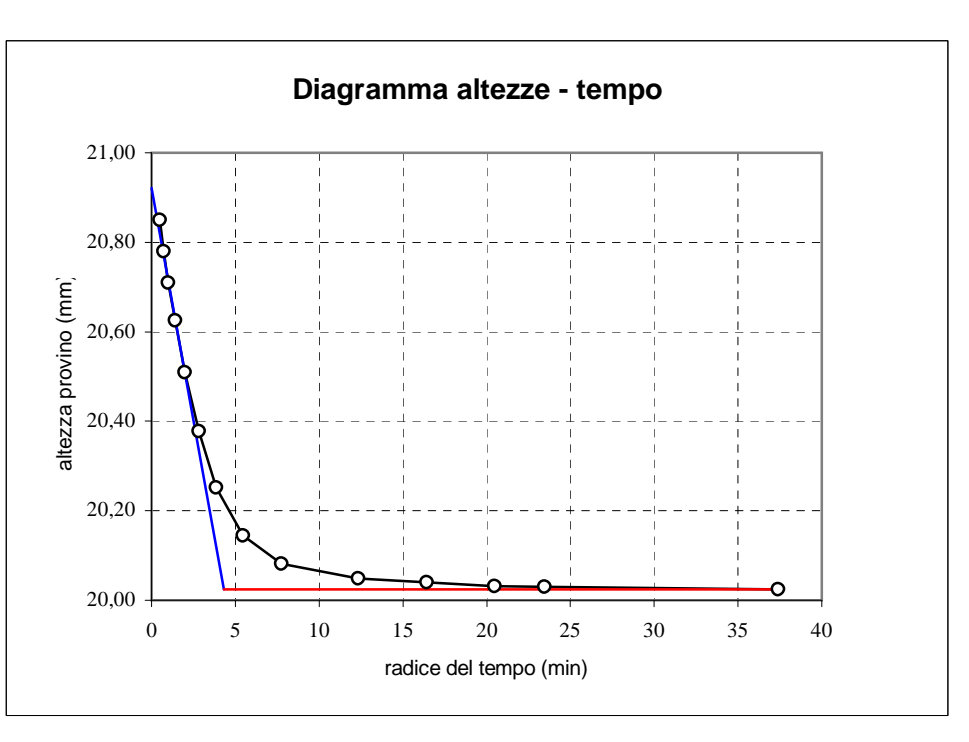
Dimensioni iniziali altezza mm 21,75

sez. cm2 36,00

Pressione normale: kPa 300

Drenaggio attraverso pietre porose situate sopra e sotto il provino.

t	Lett.	Н
(min)	mm	mm
0	7,12	21,75
0,25	6,22	20,85
0,5	6,15	20,78
1	6,08	20,71
2	6,00	20,63
4	5,88	20,51
8	5,75	20,38
15	5,62	20,25
30	5,51	20,14
60	5,45	20,08
152	5,42	20,05
270	5,41	20,04
420	5,40	20,03
550	5,40	20,03
1400	5,40	20,03



Tempo di consolidazione

t<sub>100</sub> (min)

19

il Direttore Prof. Geol. Piero Focardi

lo Sperimentatore Dr. Geol Alessandro Lugo





Via Galeotti 3 - 50136 Firenze - Tel/fax 055 6505508 - www.laboratorioelleti.it - laboratorio.elleti@tiscali.it

Certificato n°	050-12	Data	27/12/12	Pagina	8 / 21
Verbale di accet	tazione n°	12051	Prova nume	ro / pagina prova	1205101 -TG/4
Committente	ATLANTE s.r.l.		Provenienza	V. Bazzi - Dicon	nano
Sondaggio n°	1	Campione n°	1	Prof. (metri)	5,0-5,5

# PROVA DI TAGLIO DIRETTO

1

#### PROVA DI TAGLIO SUL PROVINO NUMERO

Pressione di consolidazione kPa 100
Tempo di consolidazione ore 24
Pressione normale kPa 100
Resistenza al taglio kPa 66
Spostamento orizz. a rottura mm 6,80

VELOCITA' DI PROVA 0,005 mm/min

s = spostamento (mm)

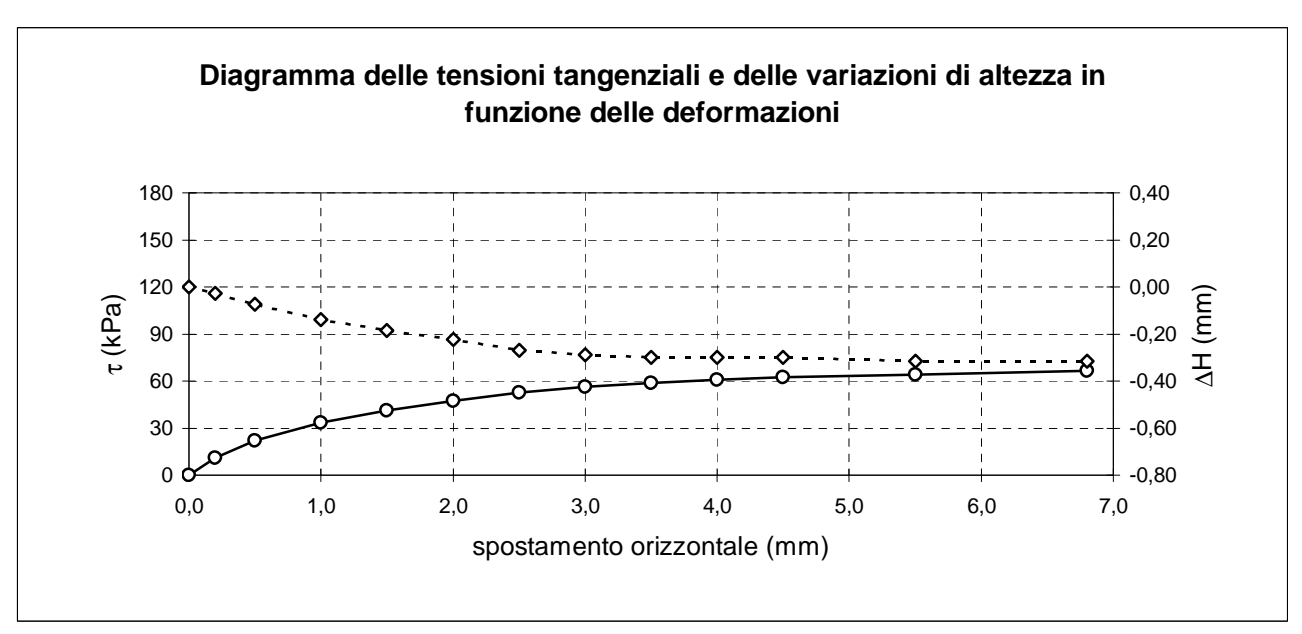
e = deformazione provino (%)

Din = lettura dinamometro (mm)

DH = variazione di altezza del provino (mm)

t = resistenza al taglio (kPa)

s	Din.	DH	t
mm	mm	mm	kPa
0,00	0,000	0,00	0
0,20	0,073	-0,03	11
0,50	0,150	-0,07	22
1,00	0,225	-0,14	33
1,50	0,279	-0,19	41
2,00	0,320	-0,22	47
2,50	0,356	-0,27	53
3,00	0,380	-0,29	56
3,50	0,397	-0,30	59
4,00	0,410	-0,30	61
4,50	0,422	-0,30	63
5,50	0,432	-0,32	64
6,80	0,448	-0,32	66



il Direttore Prof. Geol. Piero Focardi





Via Galeotti 3 - 50136 Firenze - Tel/fax 055 6505508 - www.laboratorioelleti.it - laboratorio.elleti@tiscali.it

Certificato n°	050-12	Data	27/12/2012	Pagina	9 / 21
Verbale di accet	tazione n°	12051	Prova nume	ro / pagina prova	1205101 -TG/5
Committente	ATLANTE s.r.l.		Provenienza	V. Bazzi - Dicon	nano
Sondaggio n°	1	Campione n°	1	Prof. (metri)	5,0-5,5

2

#### **PROVA DI TAGLIO DIRETTO**

#### PROVA DI TAGLIO SUL PROVINO NUMERO

Pressione di consolidazione kPa 200
Tempo di consolidazione ore 24
Pressione normale kPa 200
Resistenza al taglio kPa 132
Spostamento orizz. a rottura mm 6,80

VELOCITA' DI PROVA 0,005 mm/min

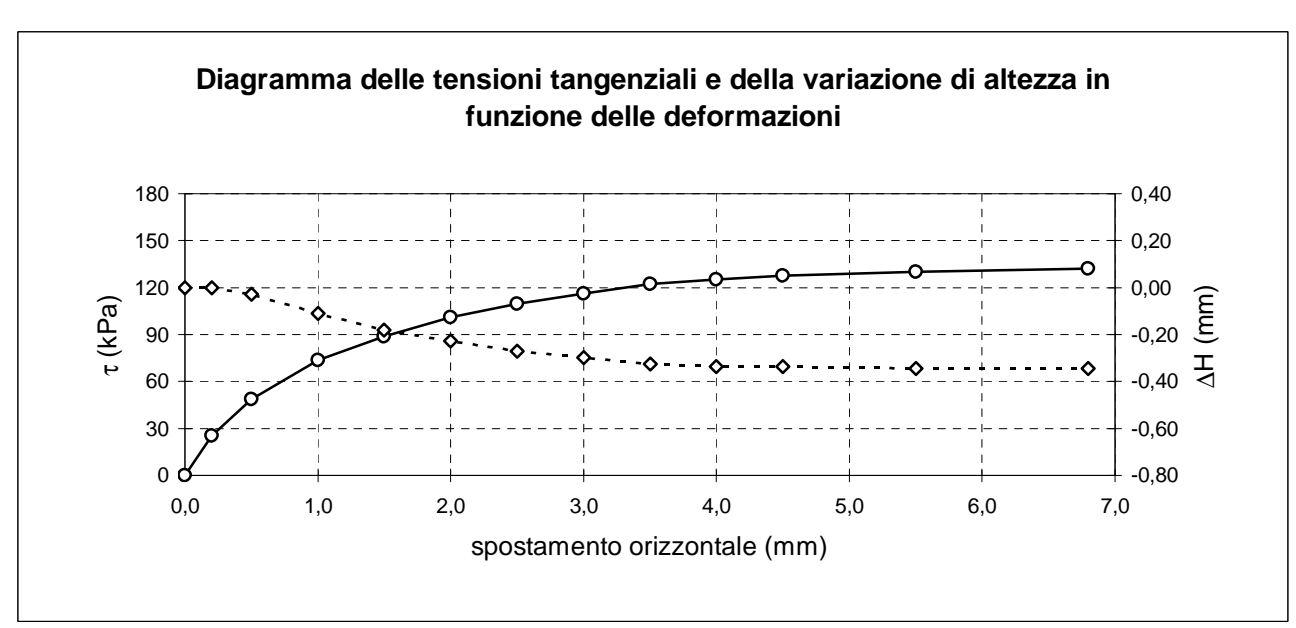
s = spostamento (mm)

Din = lettura dinamometro (mm)

DH = variazione di altezza del provino (mm)

t = resistenza al taglio (kPa)

S	Din.	DH	t
mm	mm	mm	kPa
0,00	0,000	0,00	0
0,20	0,104	0,00	25
0,50	0,2	-0,03	49
1,00	0,301	-0,11	74
1,50	0,363	-0,18	89
2,00	0,413	-0,23	101
2,50	0,448	-0,27	109
3,00	0,475	-0,30	116
3,50	0,5	-0,33	122
4,00	0,513	-0,34	125
4,50	0,522	-0,34	128
5,50	0,532	-0,34	130
6,80	0,54	-0,34	132



il Direttore Prof. Geol. Piero Foçardi





Via Galeotti 3 - 50136 Firenze - Tel/fax 055 6505508 - www.laboratorioelleti.it - laboratorio.elleti@tiscali.it

Certificato n°	050-12	Data	27/12/12	Pagina	10 / 21
Verbale di acce	ttazione n°	12051	Prova nume	ero / pagina prova	1205101 -TG/6
Committente	ATLANTE s.r.l.		Provenienza	V. Bazzi - Dicon	nano
Sondaggio n°	1	Campione n°	1	Prof. (metri)	5,0-5,5

3

#### **PROVA DI TAGLIO DIRETTO**

#### PROVA DI TAGLIO SUL PROVINO NUMERO

Pressione di consolidazione kPa 300
Tempo di consolidazione ore 24
Pressione normale kPa 300
Resistenza al taglio kPa 192
Spostamento orizz. a rottura mm 6,80

VELOCITA' DI PROVA 0,005 mm/min

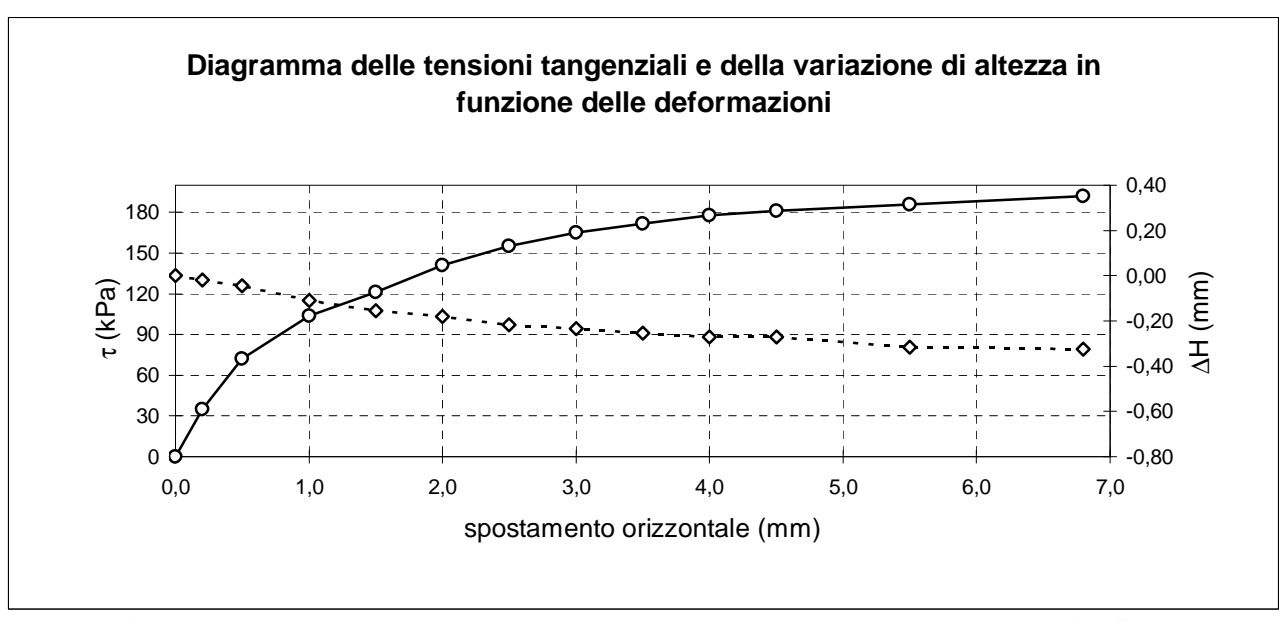
s = spostamento (mm)

Din = lettura dinamometro (mm)

DH = variazione di altezza del provino (mm)

t = resistenza al taglio (kPa)

s	Din.	DH	t
mm	mm	mm	kPa
0,00	0,000	0,00	0
0,20	0,076	-0,02	35
0,50	0,157	-0,05	72
1,00	0,225	-0,11	104
1,50	0,263	-0,15	121
2,00	0,306	-0,18	141
2,50	0,337	-0,22	155
3,00	0,359	-0,23	165
3,50	0,373	-0,25	172
4,00	0,386	-0,27	178
4,50	0,393	-0,27	181
5,50	0,404	-0,32	186
6,80	0,417	-0,32	192



il Direttore Prof. Geol. Piero Foçardi





Via Galeotti 3 - 50136 Firenze - Tel/fax 055 6505508 - www.laboratorioelleti.it - laboratorio.elleti@tiscali.it

Certificato n° 050-12 Data 27/12/12 Pagina 11 / 21 Verbale di accettazione n° 12051 Prova numero / pagina prova 1205101 -TG/7 Committente ATLANTE s.r.l. Provenienza V. Bazzi - Dicomano Sondaggio n° Campione n° Prof. (metri) 5,0-5,5

\_\_\_\_\_\_

### **PROVA DI TAGLIO DIRETTO**

(ASTM D 3080)

Dimensioni iniziali : altezza 2,18 cm

altezza 2,18 cm sezione: 36,00 cm<sup>2</sup>

#### PESO DI VOLUME

		Prima della prova			Do	po la rotti	ura
Provino numero		1	2	3	1	2	3
Massa del terreno	g	145,74	147,11	146,44	140,89	143,08	137,83
Volume del terreno	cm <sup>3</sup>	78,30	78,30	78,30	74,81	72,25	70,79
Massa specifica	g/cm <sup>3</sup>	1,86	1,88	1,87	1,88	1,98	1,95
Peso di volume	kN/m <sup>3</sup>	18,25	18,43	18,34	18,47	19,42	19,09

#### CONTENUTO DI ACQUA

		Prima della prova			Do	po la rott	ura
Provino numero		1	2	3	1	2	3
Massa terreno umido	g	145,74	147,11	146,44	140,89	143,08	137,83
Massa terreno secco	g	110,55	112,28	109,48	110,55	112,28	109,48
Contenuto di acqua	%	31,83	31,02	33,76	27,44	27,43	25,90

il Direttore
Prof. Geol. Piero Focardi





#### Via Galeotti 3 - 50136 Firenze - Tel/fax 055 6505508 - www.laboratorioelleti.it - laboratorio.elleti@tiscali.it

Committente ATLANTE s.r.l Via G. La Farina, 14 - 50132 Firenze Richiedente dr geol. Michele Sani Provenienza Via Bazzi - Rimaggio - Dicomano	
· · · · · · · · · · · · · · · · · · ·	
Dravanianza Via Parri Dimaggia Diagmana	
Provenienza Via Bazzi - Rimaggio - Dicomano	
Contenitore fustella acciaio Diametro (mm) 85 Lunghezza (cm) 53	2
Contrassegno Sond. 1 Camp. 2 Profondità (m) 10,0-10,5	

#### **DESCRIZIONE DEL CAMPIONE E PROGRAMMA PROVE**

Data di apertura del campione	17/12/12

Descrizione del campione:

Classe di qualità

Limo argilloso grigio scuro, compatto; presenza di inclusi carboniosi e ghiaiosi più abbondanti in alto.

Fotografia del campione (se richiesta)	
, , ,	

Q5

Ubicazione dei provini sottoposti ad analisi (disegno non in scala)

		P.P.	V.T.
Alto		140	80
	TG	220	00
	ELL	330	100
Basso		220	100

P.P. = Pocket penetrometer (kPa) V.T. = Vane test (kPa)

OSSERVAZIONI:		

il Direttore
Prof. Geol. Piero Foçardi





#### Via Galeotti 3 - 50136 Firenze - Tel/fax 055 6505508 - www.laboratorioelleti.it - laboratorio.elleti@tiscali.it

Certificato n°	050-12	Dat	a	27/12/12	Pagina	13 / 21
Verbale di acce	ettazione n°	12051	del	15/12/12	Prova numero	1205102 -G

Committente ATLANTE s.r.l. - Via G. La Farina, 14 - 50132 Firenze

Richiedente dr geol. Michele Sani Provenienza V. Bazzi - Dicomano

Contenitore fustella acciaio Diametro (mm) 85 Lunghezza (cm) 52 Contrassegno Sond. 1 Camp. 2 Profondità (m) 10,0-10,5

PESO DI VOLUME

(UNI CEN ISO/TS 17892/2)

Data di prova: 19/12/2012

Peso del terreno	g	173,00
Volume del terreno	cm <sup>3</sup>	85,27
Massa specifica	g/cm <sup>3</sup>	2,03
Peso di volume	kN/m <sup>3</sup>	19,90

il Direttore Prof. Geol. Piero Foçardi





#### Via Galeotti 3 - 50136 Firenze - Tel/fax 055 6505508 - www.laboratorioelleti.it - laboratorio.elleti@tiscali.it

#RIF! <b>050</b>	-12	Data	l	27/12/12	Pagina	14 / 21
Verbale di accettazion	e n°	12051	del	15/12/12	Prova numero	1205102 -ELL

ATLANTE s.r.l. - Via G. La Farina, 14 - 50132 Firenze Committente

Richiedente dr geol. Michele Sani V. Bazzi - Dicomano Provenienza

fustella acciaio 85 Contenitore Diametro (mm) Lunghezza (cm) 52

Contrassegno Sond. Camp. 2 Profondità (m) 10,0-10,5

#### PROVA DI COMPRESSIONE SEMPLICE

(ASTM D 2166)

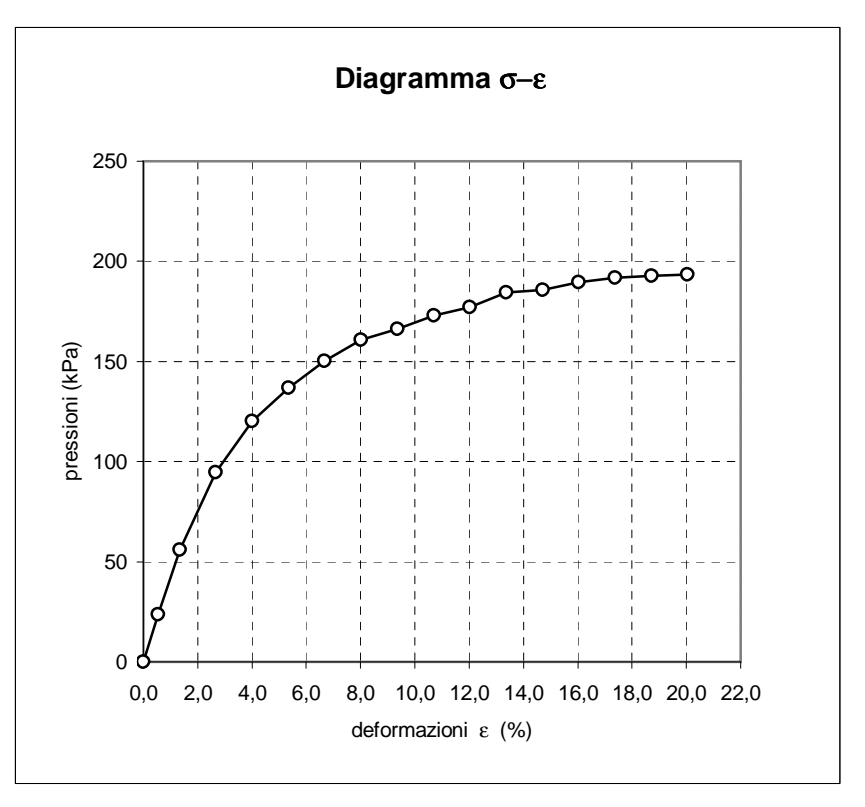
Inizio prova 19/12/12

VELOCITA' DI PROVA Dimensioni iniziali altezza 7,48 cm

> cm<sup>2</sup> 0,500 mm/min sezione 11,40

Contenuto di acqua 23,1 %  $kN/m^3$ Peso di volume 20,0

Def.	Area	е	S
mm	cm <sup>2</sup>	%	kPa
0,00	11,40	0,0	0,0
0,40	11,46	0,5	23,7
1,00	11,55	1,3	56,0
2,00	11,71	2,7	94,8
3,00	11,87	4,0	120,0
4,00	12,04	5,3	136,9
5,00	12,21	6,7	150,1
6,00	12,39	8,0	160,7
7,00	12,57	9,4	166,1
8,00	12,76	10,7	173,1
9,00	12,95	12,0	177,2
10,00	13,15	13,4	184,4
11,00	13,36	14,7	185,7
12,00	13,57	16,0	189,6
13,00	13,79	17,4	191,7
14,00	14,02	18,7	192,8
15,00	14,25	20,1	193,5



STATO TENSIONALE A ROTTURA

Resistenza alla compressione

kPa 193

Deformazione a rottura

% 20,1

il Direttore Prof. Geol. Piero Foçardi lo Sperimentațore



1



Via Galeotti 3 - 50136 Firenze - Tel/fax 055 6505508 - www.laboratorioelleti.it - laboratorio.elleti@tiscali.it

Certificato nº 050-12 Data 27/12/12 Pagina 15 / 21 Verbale di accettazione n° 12051 del 15/12/12 Prova numero 1205102 -TG/1

Committente ATLANTE s.r.l. - Via G. La Farina, 14 - 50132 Firenze

Richiedente dr geol. Michele Sani Provenienza V. Bazzi - Dicomano

Contenitore fustella acciaio Diametro (mm) 85 Lunghezza (cm) 52 Contrassegno Sond. Camp. 2 Profondità (m) 10,0-10,5

#### PROVA DI TAGLIO DIRETTO

(ASTM D 3080)

Data di prova inizio 17/12/12 termine 21/12/12

TEST DI CONSOLIDAZIONE SUL PROVINO NUMERO

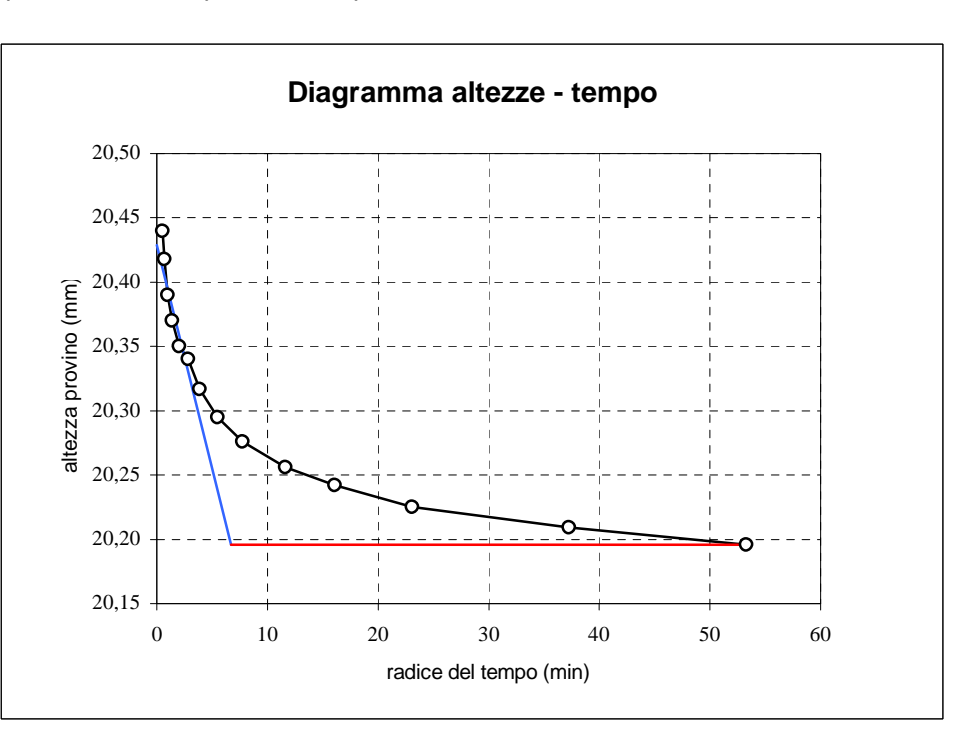
Dimensioni iniziali 21,75 altezza mm

> cm<sup>2</sup> 36,00 sezione

Pressione normale: kPa 100

Drenaggio attraverso pietre porose situate sopra e sotto il provino.

t	Lett.	Н
(min)	mm	mm
0	20,31	21,75
0,25	19,00	20,44
0,5	18,98	20,42
1	18,95	20,39
2	18,93	20,37
4	18,91	20,35
8	18,90	20,34
15	18,88	20,32
30	18,86	20,30
60	18,84	20,28
135	18,82	20,26
258	18,80	20,24
532	18,79	20,23
1387	18,77	20,21
2839	18,76	20,20



Tempo di consolidazione

 $t_{100}$  (min)

45

il Direttore Prof. Geol. Piero Focardi





Via Galeotti 3 - 50136 Firenze - Tel/fax 055 6505508 - www.laboratorioelleti.it - laboratorio.elleti@tiscali.it

Certificato n°	050-12	Data	27/12/12	Pagina	16 / 21
Verbale di accet	tazione n°	12051	Prova numero / pagina prova		1205102 -TG/2
Committente	ATLANTE s.r.l.		Provenienza	V. Bazzi - Dicon	nano
Sondaggio n°	1	Campione n°	2	Prof. (metri)	10,0-10,5

#### **PROVA DI TAGLIO DIRETTO**

TEST DI CONSOLIDAZIONE SUL PROVINO NUMERO

2

Dimensioni iniziali

altezza

mm 21,75

sez.

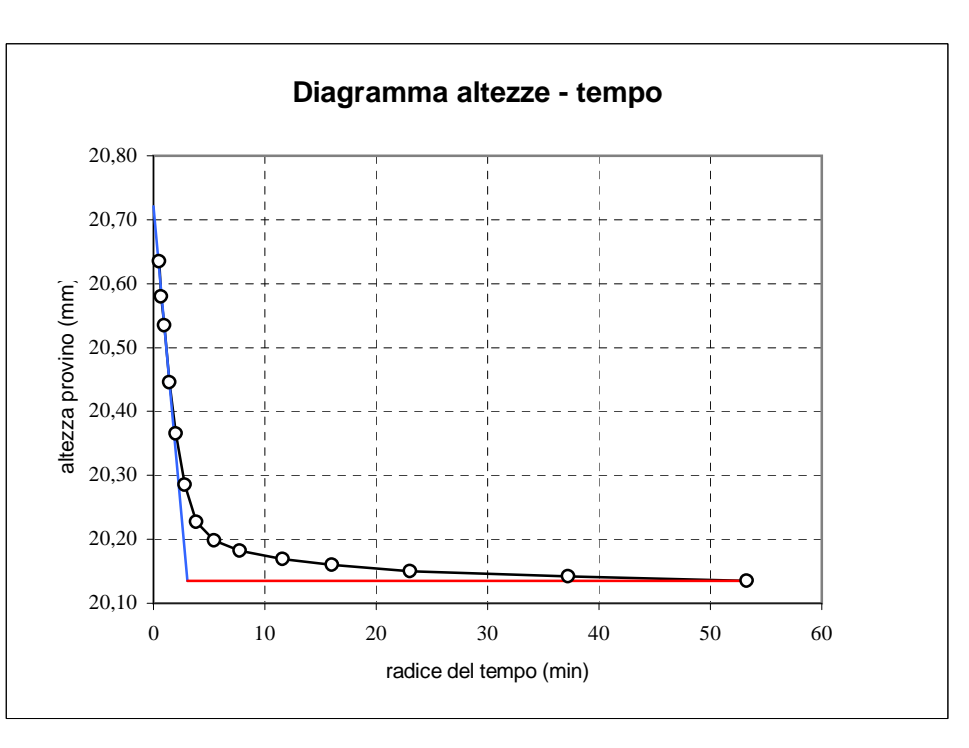
cm2 36,00

Pressione normale:

kPa 200

Drenaggio attraverso pietre porose situate sopra e sotto il provino.

t	Lett.	Н
(min)	mm	mm
0	15,42	21,75
0,25	14,30	20,64
0,5	14,25	20,58
1	14,20	20,54
2	14,11	20,45
4	14,03	20,37
8	13,95	20,29
15	13,89	20,23
30	13,86	20,20
60	13,85	20,18
135	13,83	20,17
258	13,83	20,16
532	13,82	20,15
1387	13,81	20,14
2839	13,80	20,14



Tempo di consolidazione

t<sub>100</sub> (min)

9

il Direttore Prof. Geol. Piero Focardi lo Sperimentatore Dr. Geol Alessandro Lugo



3



Via Galeotti 3 - 50136 Firenze - Tel/fax 055 6505508 - www.laboratorioelleti.it - laboratorio.elleti@tiscali.it

Certificato n°	050-12	Data	27/12/12	Pagina	17 / 21
Verbale di acce	ttazione n°	12051	Prova nume	ro / pagina prova	1205102 -TG/3
Committente	ATLANTE s.r.l.		Provenienza	V. Bazzi - Dicon	nano
Sondaggio n°	1	Campione n°	2	Prof. (metri)	10,0-10,5

#### **PROVA DI TAGLIO DIRETTO**

TEST DI CONSOLIDAZIONE SUL PROVINO NUMERO

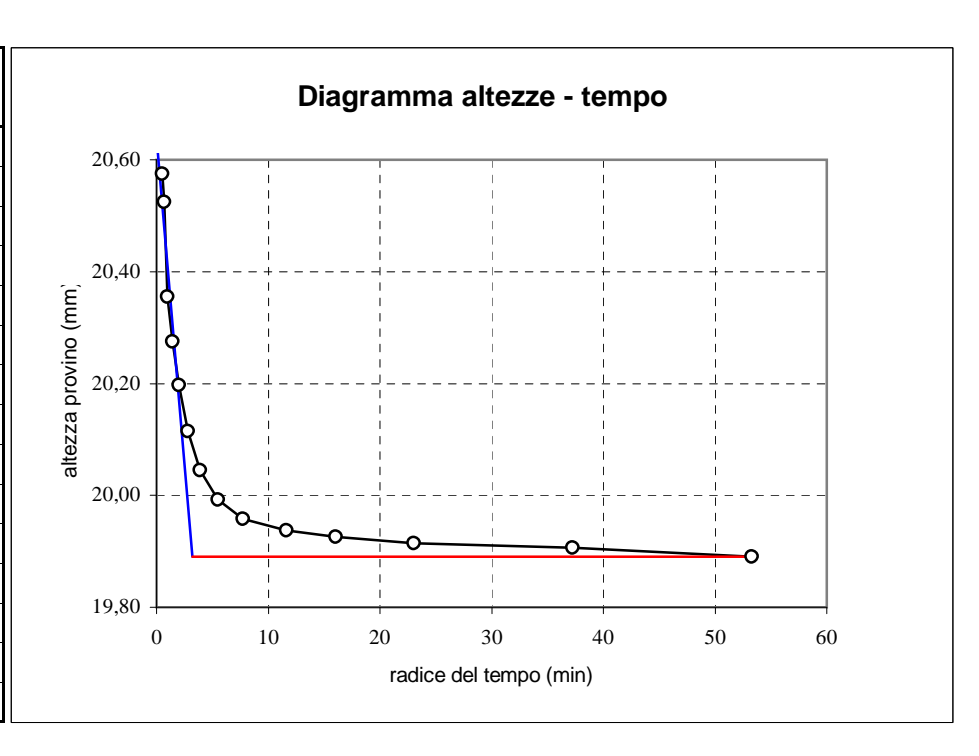
Dimensioni iniziali altezza mm 21,75

sez. cm2 36,00

Pressione normale: kPa 300

Drenaggio attraverso pietre porose situate sopra e sotto il provino.

t	Lett.	Н
(min)	mm	mm
0	6,38	21,75
0,25	5,20	20,58
0,5	5,15	20,53
1	4,98	20,36
2	4,90	20,28
4	4,82	20,20
8	4,74	20,12
15	4,67	20,05
30	4,62	19,99
60	4,58	19,96
135	4,56	19,94
258	4,55	19,93
532	4,54	19,92
1387	4,53	19,91
2839	4,52	19,89



Tempo di consolidazione

t<sub>100</sub> (min)

10

il Direttore
Prof. Geol. Piero Foçardi

lo Sperimentatore Dr. Geol Alessandro Lugo





Via Galeotti 3 - 50136 Firenze - Tel/fax 055 6505508 - www.laboratorioelleti.it - laboratorio.elleti@tiscali.it

Certificato n°	050-12	Data	27/12/12	Pagina	18 / 21
Verbale di accet	tazione n°	12051	Prova numero / pagina prova		1205102 -TG/4
Committente	ATLANTE s.r.l.		Provenienza	V. Bazzi - Dicon	nano
Sondaggio n°	1	Campione n°	2	Prof. (metri)	10,0-10,5

#### **PROVA DI TAGLIO DIRETTO**

1

#### PROVA DI TAGLIO SUL PROVINO NUMERO

Pressione di consolidazione kPa 100
Tempo di consolidazione ore 47
Pressione normale kPa 100
Resistenza al taglio kPa 56
Spostamento orizz. a rottura mm 3,00

VELOCITA' DI PROVA 0,005 mm/min

s = spostamento (mm)

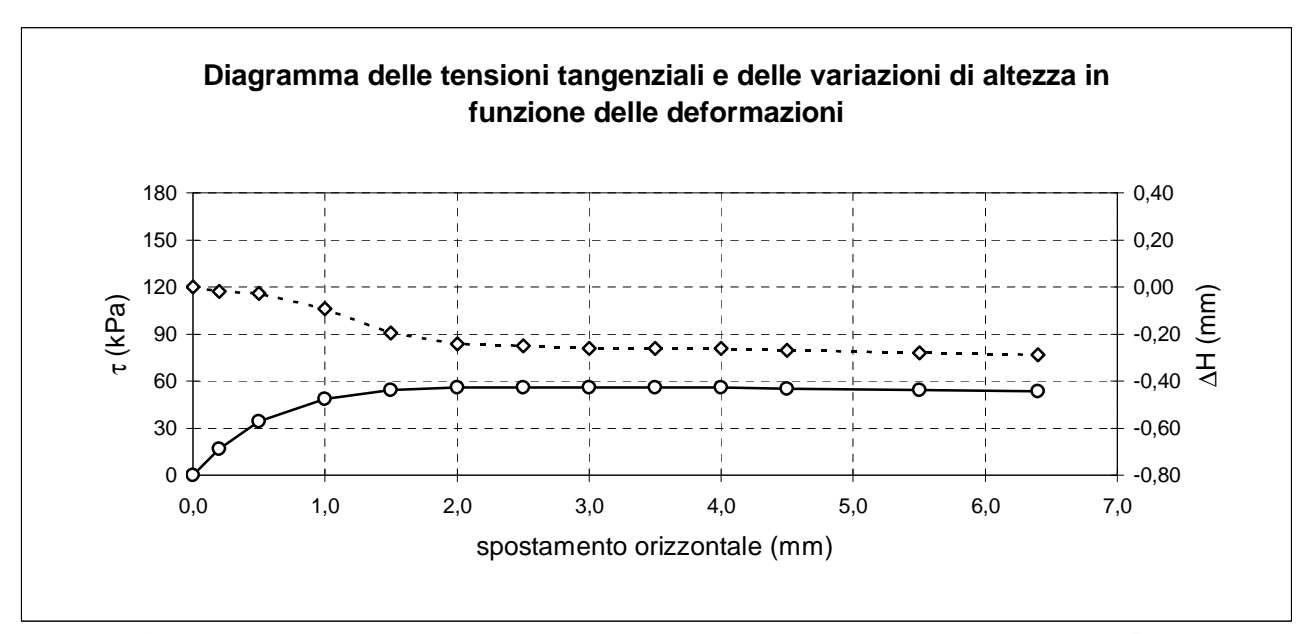
e = deformazione provino (%)

Din = lettura dinamometro (mm)

DH = variazione di altezza del provino (mm)

t = resistenza al taglio (kPa)

s	Din.	DH	t
mm	mm	mm	kPa
0,00	0,000	0,00	0
0,20	0,112	-0,02	17
0,50	0,231	-0,03	34
1,00	0,327	-0,09	48
1,50	0,366	-0,20	54
2,00	0,378	-0,24	56
2,50	0,378	-0,25	56
3,00	0,378	-0,26	56
3,50	0,377	-0,26	56
4,00	0,376	-0,26	56
4,50	0,371	-0,27	55
5,50	0,365	-0,28	54
6,40	0,361	-0,29	54



il Direttore Prof. Geol. Piero Foçardi





Via Galeotti 3 - 50136 Firenze - Tel/fax 055 6505508 - www.laboratorioelleti.it - laboratorio.elleti@tiscali.it

Certificato n°	050-12	Data	27/12/2012	Pagina	19 / 21
Verbale di accettazione n° 12051		12051	Prova numero / pagina prova		1205102 -TG/5
Committente	ATLANTE s.r.l.		Provenienza	V. Bazzi - Dicon	nano
Sondaggio nº	1	Campione no	2	Prof (metri)	10 0-10 5

2

#### **PROVA DI TAGLIO DIRETTO**

#### PROVA DI TAGLIO SUL PROVINO NUMERO

Pressione di consolidazione kPa 200
Tempo di consolidazione ore 47
Pressione normale kPa 200
Resistenza al taglio kPa 114
Spostamento orizz. a rottura mm 4,00

VELOCITA' DI PROVA 0,005 mm/min

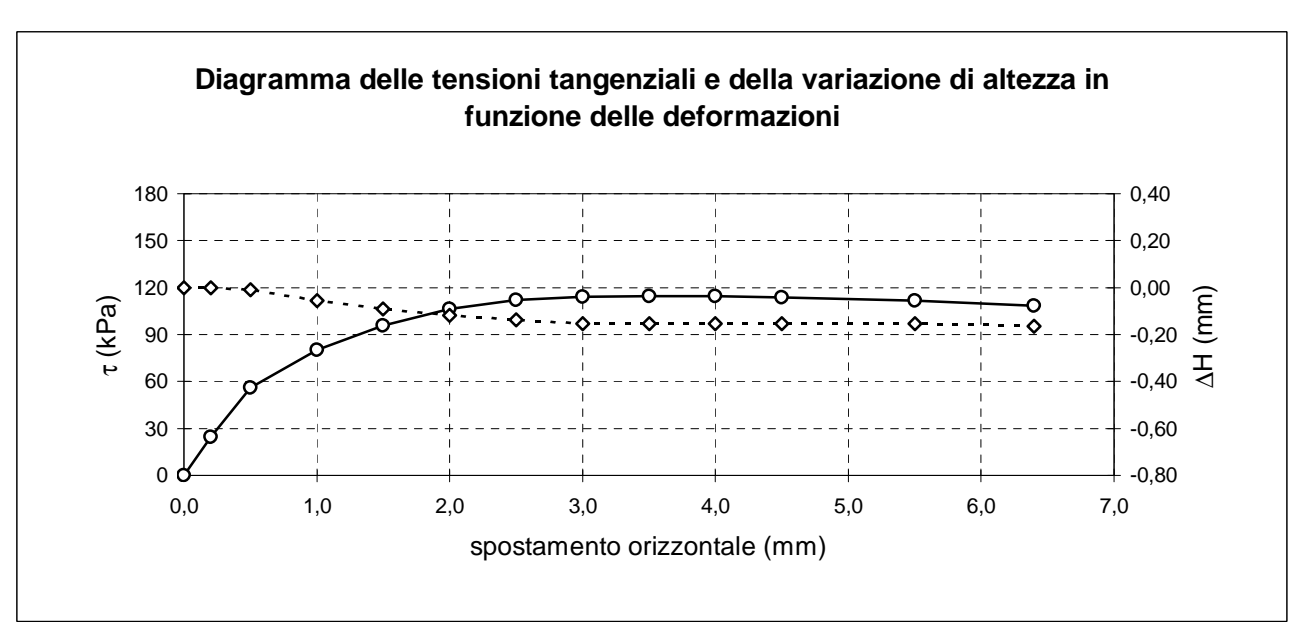
s = spostamento (mm)

Din = lettura dinamometro (mm)

DH = variazione di altezza del provino (mm)

t = resistenza al taglio (kPa)

s	Din.	DH	t
mm	mm	mm	kPa
0,00	0,000	0,00	0
0,20	0,101	0,00	25
0,50	0,229	-0,01	56
1,00	0,329	-0,05	80
1,50	0,392	-0,09	96
2,00	0,436	-0,12	107
2,50	0,458	-0,14	112
3,00	0,467	-0,15	114
3,50	0,468	-0,15	114
4,00	0,468	-0,15	114
4,50	0,4654	-0,15	114
5,50	0,457	-0,15	112
6,40	0,443	-0,16	108



il Direttore Prof. Geol. Piero Focardi





Via Galeotti 3 - 50136 Firenze - Tel/fax 055 6505508 - www.laboratorioelleti.it - laboratorio.elleti@tiscali.it

Certificato n°	050-12	Data	27/12/12	Pagina	20 / 21
Verbale di acce	ttazione n°	12051	Prova numero / pagina prova		1205102 -TG/6
Committente	ATLANTE s.r.l.		Provenienza	V. Bazzi - Dicon	nano
Sondaggio n°	1	Campione n°	2	Prof. (metri)	10,0-10,5

------

3

#### **PROVA DI TAGLIO DIRETTO**

#### PROVA DI TAGLIO SUL PROVINO NUMERO

Pressione di consolidazione kPa 300
Tempo di consolidazione ore 47
Pressione normale kPa 300
Resistenza al taglio kPa 151
Spostamento orizz. a rottura mm 1,50

VELOCITA' DI PROVA 0,005 mm/min

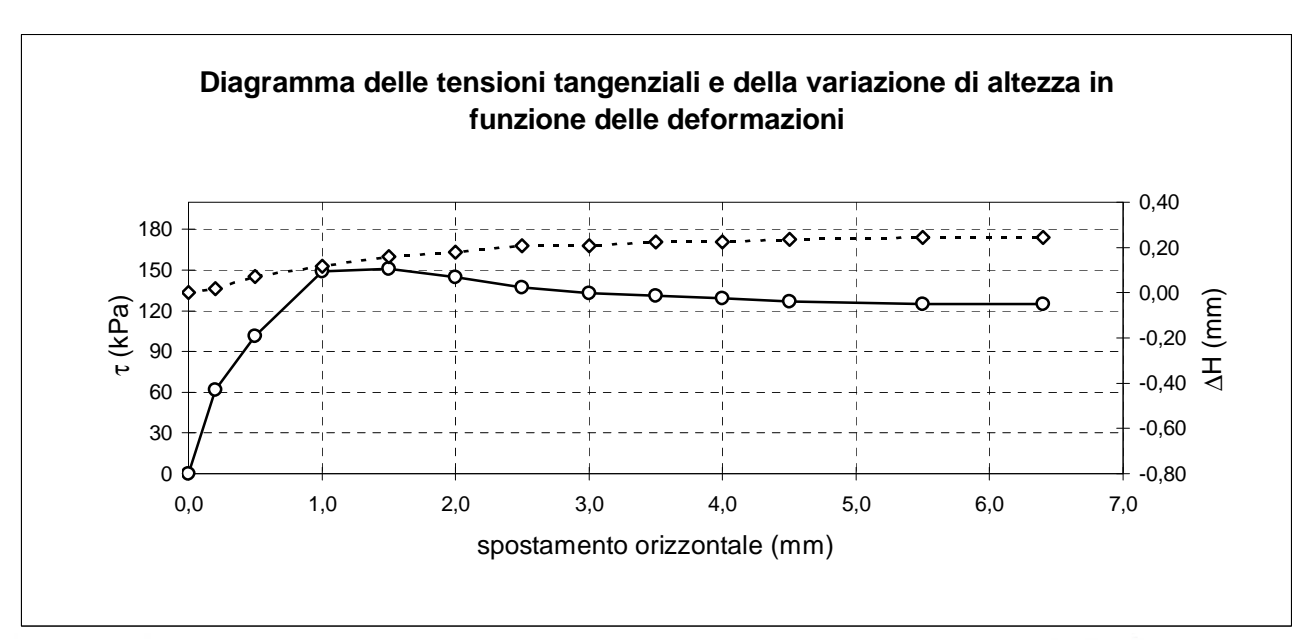
s = spostamento (mm)

Din = lettura dinamometro (mm)

DH = variazione di altezza del provino (mm)

t = resistenza al taglio (kPa)

S	Din.	DH	t
mm	mm	mm	kPa
0,00	0,000	0,00	0
0,20	0,134	0,02	62
0,50	0,220	0,07	101
1,00	0,324	0,12	149
1,50	0,328	0,16	151
2,00	0,315	0,18	145
2,50	0,298	0,21	137
3,00	0,289	0,21	133
3,50	0,285	0,23	131
4,00	0,281	0,23	129
4,50	0,276	0,23	127
5,50	0,272	0,24	125
6,40	0,272	0,24	125



il Direttore Prof. Geol. Piero Foçardi





Via Galeotti 3 - 50136 Firenze - Tel/fax 055 6505508 - www.laboratorioelleti.it - laboratorio.elleti@tiscali.it

Certificato n°	050-12	Data	27/12/12	Pagina	21 / 21
Verbale di accet	tazione n°	12051	Prova numero / pagina prova		1205102 -TG/7
Committente	ATLANTE s.r.l.		Provenienza	V. Bazzi - Dicon	nano
Sondaggio n°	1	Campione n°	2	Prof. (metri)	10,0-10,5

------

### **PROVA DI TAGLIO DIRETTO**

(ASTM D 3080)

Dimensioni iniziali : altezza 2,18 cm sezione : 36,00 cm<sup>2</sup>

### PESO DI VOLUME

	Prima della prova			Dopo la rottura			
Provino numero		1	2	3	1	2	3
Massa del terreno	g	151,64	154,53	149,05	152,46	153,82	148,45
Volume del terreno	cm <sup>3</sup>	78,30	78,30	78,30	71,59	71,84	72,58
Massa specifica	g/cm <sup>3</sup>	1,94	1,97	1,90	2,13	2,14	2,05
Peso di volume	kN/m <sup>3</sup>	18,99	19,35	18,67	20,89	21,00	20,06

#### CONTENUTO DI ACQUA

		Prima della prova			Dopo la rottura		
Provino numero	•	1	2	3	1	2	3
Massa terreno umido	g	151,64	154,53	149,05	152,46	153,82	148,45
Massa terreno secco	g	120,44	124,37	115,84	120,44	124,37	115,84
Contenuto di acqua	%	25,91	24,25	28,67	26,59	23,68	28,15

il Direttore
Prof. Geol. Piero Focardi

lo Sperimentatore Dr. Geol Alessandro Lugo

# TERRA & OPERE S.R.L. società d'ingegneria consulenze geologiche

D - Report delle verifiche di stabilità del versante

Localita' : Rimaggio - Dicomano

Descrizione: Verifica stabilità versante stato attuale SEZIONE 1-1' - condizioni drenate

----- PARAMETRI DEL MODELLO DEL PENDIO ------

\_\_ PARAMETRI GEOMETRICI - Coordinate X Y (in m) \_\_

SUF	РТ.	SUF	2	SUP 3		SUP 4	
X	Υ	Х	Υ	Х	Υ	X	Υ
0.00 0.00 24.28 32.33 40.18 49.02 52.26 59.27 117.97 134.24 149.62 162.72 168.72 168.74 207.48 213.19 215.25 224.86 226.41 233.97 235.10 240.13	0.00 15.00 14.65 14.55 18.40 18.56 18.63 20.71 31.79 33.75 35.57 37.84 48.92 40.06 47.79 49.81 50.61 52.55 52.19	0.00 24.28 32.33 41.04 50.43 51.74 59.27 60.61 64.64 77.95 81.65 95.03 91.008 117.97 134.24 149.62 162.72 170.40 207.48 213.19	14.40 14.05 13.94 17.39 17.96 18.03 20.11 20.29 21.31 23.89 24.86 27.29 27.53 29.89 31.19 33.15 34.97 37.24 38.32 46.04	0.00 24.28 32.33 41.13 49.02 52.26 59.27 60.61 64.64 77.95 81.65 95.03 96.19 110.08 117.97 121.72 158.08 168.14 213.19 233.97 240.13	12.50 12.15 12.04 14.59 16.06 16.71 18.21 19.41 21.99 22.96 25.39 25.63 27.99 29.87 34.54 36.05 44.14 49.05	0.00 24.28 32.33 41.92 49.02 52.26 59.27 60.61 64.64 77.95 81.65 95.03 96.19 110.08 117.97 121.72 162.72 170.55 213.19 233.97 240.13	9.30 8.95 8.84 11.52 12.86 12.93 15.01 15.19 16.21 18.79 19.76 22.19 22.43 24.79 26.09 26.54 32.14 34.13 40.94 45.85 47.33
_	-	216.92	47.19	-	-	-	-
-	-	224.86	49.21	-	-	-	-
-	-	228.27	50.01	-	-	-	-
-	-	233.97	50.95	-	-	-	-
-	-	236.62	51.59	-	-	-	_
-	-	240.13	52.43	-	-	-	-

SUP 5

~	•
0.00 24.28 32.33 41.58 49.02 52.26 59.27 60.61 64.64 77.95 81.65 95.03 96.19 110.08 117.07 121.72 171.17 213.19 240.13	6.50 6.15 6.04 8.21 10.06 10.13 12.21 12.39 13.41 15.99 16.96 19.63 21.99 23.72 31.29 38.14 44.53

## ASSENZA DI FALDA ##

PARAMETRI	GEOTECNICI		
STRATO 1 STRATO 2 STRATO 3 STRATO 4	fi` 12.0 20.0 25.6 16.0	C` 1.6 9.6 4.0 1.6	Gamm 16.2 19.4 19.4 19.4

STRATO !	5 2	0.0	9.6	19.9			
Note:	C	Coesione	e efficace	interno ef (in Kpa) rreno fuori			
FILTRAGG LUNGHEZZ/ RANGE AS LIVELLO !	I PER LA G I RICERCA: IO SUPERFI A MEDIA SE CISSE RAND MINIMO CON	GENERAZIONE CONVEX RAN CCI: ATTIVAT GMENTI (m): DOM STARTING	DELLE SUP NDOM - Che TO (6.0 (+/-) G POINT (X /min): 0.0	ERFICI n (1992) 50% min Xmax	):	40.00	180.00 240.00
*** TOTALE SI				ONE (XIIITII .	. Amax):	40.00	240.00
INFORMAZIONI PARAMETRI DI CALCOLO  METODO DI CALCOLO : MORGENSTERN & PRICE (Morgenstern & Price, 1965)  COEFFICIENTE SISMICO UTILIZZATO Kh: 0.084  COEFFICIENTE SISMICO UTILIZZATO KV: 0.042							
* DATI RELATIVI ALLE 10 SUPERFICI GENERATE CON MINOR FS *							
Fattore di si	curezza (F	rs) 1.27	73 - Min.	44.10 49.50	18.47 15.27 12.91 14.90 16.94 19.07 20.10 23.18 26.63 29.26	Lambda=	0.316
Fattore di si	curezza (F	rs) 1.35	52 - N.2	64.38 71.22 75.87	21.68 17.43 17.44 17.86 19.50	Lambda=	0.306
Fattore di si	curezza (F	rs) 1.35	56 - N.3	X 47.42 55.45 66.61 77.42 89.02 101.74 105.57 109.33 110.00	Y 18.53 14.56 15.80 17.02 18.36 25.57 27.75 29.90 30.29	Lambda=	0.316
Fattore di si	curezza (F	rs) 1.37	74 - N.4	X 47.87 54.59 61.52 70.12 78.45 87.51 97.56 98.88	Y 18.54 14.31 14.24 14.26 16.99 19.97 27.06 28.19	Lambda=	0.316

Fattore di	sicurezza	(FS)	1.405	- N.5	X 145.67 153.58 166.77 173.20 178.54 189.80 197.87 205.20 207.40	Y 35.10 31.56 31.35 32.64 33.73 36.05 39.42 44.41 45.91	Lambda=	0.298
Fattore di	sicurezza	(FS)	1.411	- N.6	X 64.85 68.38 74.55 81.81 93.67 101.67 110.29 115.34 115.97	Y 21.76 20.00 17.56 18.45 19.92 22.48 26.03 30.65 31.41	Lambda=	0.288
Fattore di	sicurezza	(FS)	1.416	- N.7	X 50.50 63.90 67.74 73.04 82.36 92.02 97.06 99.54 103.24	Y 18.59 15.79 16.30 17.01 18.27 20.85 24.25 25.93 29.01	Lambda=	0.287
Fattore di	sicurezza	(FS)	1.435	- N.8	X 66.24 71.27 81.74 96.26 102.12 111.26 121.42	Y 22.02 19.43 17.38 19.99 21.64 26.21 32.21	Lambda=	0.274
Fattore di	sicurezza	(FS)	1.442	- N.9	X 75.53 85.30 93.85 106.68 113.88 121.43 132.29 135.36 139.69	Y 23.78 17.88 19.07 22.05 23.74 25.98 29.54 31.41 34.40	Lambda=	0.311
Fattore di					136.40 142.17 153.66 157.59 170.14 184.14 197.80 207.07	Y 34.01 30.59 30.46 30.43 32.39 34.61 39.85 45.86	Lambda=	0.296
# DATI RELAT # Analisi	ANALISI [ IVI ALLE [ Deficit i	10 SUPERF:	ICI GEN	ERATE CON	MINOR FS	* .00		
Sup N. 1 2 3	FS 1.273 1.352 1.356	FTR(kN, 3021 2413 2311	.0 .5	FTA(kN/m) 2373.1 1785.4 1704.9	41 44	io(kN/m) 0.5 9.6 6.1	ESITO Surplus Surplus Surplus	

4 5 6 7 8 9 10	1.405 1.411 1.416 1.435 1.442 1.447	1927.6 1837.5 2149.5 2752.0 2817.6	5 1 5 1 5 1 6 1 6 1	947.1	534 425 409 501	9.6 4.7 5.3 9.9 1.8 2.8	Surplus Surplus Surplus Surplus Surplus Surplus Surplus		
	nalisi: SU								
Valore	minimo di S	SURPLUS di	RESISTENZ	A (kN/m)	:	409.6			
Descrizi	one: Verifi SEZION	ca stabili E 1-1' - c				le			
	ARAMETRI GE	_							
STRA STRA STRA STRA STRA	TO 1 TO 2 TO 3 TO 4 TO 5	Cu 17.5 34.6 55.7 56.6 128.6	Gamm 16.2 19.4 19.4 19.4 19.9						
Note:	Cu Gamm	Resis	stenza al di volume	taglio No terreno	on dren fuori	nata (in K falda (in	pa) KN/m^3)		
*** PARAM METOD FILTR LUNGH RANGE LIVEL RANGE  *** TOTAL  METOD COEFF COEFF	INFORMAZ ETRI PER LA O DI RICERC AGGIO SUPER EZZA MEDIA ASCISSE RA LO MINIMO C ASCISSE AM E SUPERFICI INFORMA O DI CALCOL ICIENTE SIS ICIENTE SIS	GENERAZIO A: CONVEX FICI: ATTI SEGMENTI ( NDOM START ONSIDERATO MESSO PER GENERATE ZIONI PARA O: MORGEN MICO UTILI	DNE DELLE RANDOM - EVATO (m):6.0 (+ EING POINT O (YMIN): LA TERMIN : 1000 MMETRI DI MSTERN & P EZZATO KV:	SUPERFICE Chen (199  /-) 50% (Xmin . 0.00 AZIONE (X  CALCOLO . RICE (MC 0.084 0.042	I 92) . Xmax Xmin . xmin .	): . Xmax):  tern & Pri	40.00 40.00		180.00 240.00
 * DATI	 RELATIVI AL	LE 10 SUPE	RFICI GEN	ERATE CO					
	sicurezza			in  8  9  100  114  120  14  15  16  16  17  18  19  20  21  22		Y 26.00 18.23 10.65 8.02 5.75 4.25 4.94 5.39 6.44 8.88 10.80 13.35 18.02 22.76 26.82 32.58 41.31 48.45 51.69	Lambda=	0.213	
Fattore di	sicurezza	(FS) 1	L.572 - N	78 83	X 8.03 3.91 3.62	Y 24.25 18.84 12.91	Lambda=	0.205	

	98 105 119 133 144 147 154 166 173 185 190 197 207 214 221	.99 7.05 .22 7.18 .05 7.30 .25 7.64 .13 8.38 .53 10.11 .42 13.22 .27 19.11 .46 22.42 .48 28.45 .10 36.72 .41 43.04		
Fattore di sicurezza (FS)	58 64 70 80	.74 9.10 .72 9.49 .33 9.97 .42 10.77 .09 11.18 .41 12.66 .43 15.97 .39 19.95 .80 22.17 .43 26.02 .27 33.63 .85 38.74 .71 47.20	Lambda=	0.250
Fattore di sicurezza (FS)	57 66 68 81	.55 5.57 .30 5.53 .22 5.68 .15 6.98 .40 9.12 .71 10.91 .02 18.06 .80 22.91 .82 27.36 .72 31.18 .30 40.58	Lambda=	0.237
Fattore di sicurezza (FS)	50 60 71 76	.20 4.84 .69 5.48 .43 6.68 .75 8.44 .90 9.44 .96 10.89 .90 18.84 .13 25.17	Lambda=	0.232

		171.88 175.03 175.21	38.16 40.95 41.11		
Fattore di sicurezza (FS)	1.720 - N.6	X 65.48 73.88 86.38 93.50 99.88 108.18 118.96 123.18 136.78 147.44 156.87 162.53 172.47 180.20 183.46 189.47 196.05	Y 21.88 16.79 10.13 7.05 4.29 2.55 2.37 2.31 6.78 10.30 14.08 18.00 24.89 30.28 33.13 38.41 44.22	Lambda=	0.214
Fattore di sicurezza (FS)	1.732 - N.7	X 97.46 107.62 120.61 131.95 139.07 150.55 160.67 166.48 169.70 172.48 180.33 186.15 191.36 195.64 201.40 209.19 212.98 216.99 220.04 227.01	Y 27.92 20.24 13.91 9.03 8.21 7.22 8.83 9.79 10.33 11.56 11.56 21.15 24.16 28.54 37.85 41.47 44.24 50.77	Lambda=	0.191
Fattore di sicurezza (FS)	1.744 - N.8	X 59.32 62.89 71.61 85.28 96.45 105.02 116.33 128.36 133.96 138.41 150.46 162.20 173.71 176.54 185.77 193.08 194.34	Y 20.72 17.49 12.55 9.98 7.91 6.34 4.30 4.14 5.00 5.69 10.60 17.26 24.08 26.80 35.68 42.74 43.96	Lambda=	0.219
Fattore di sicurezza (FS)	1.790 - N.9	X 70.21 80.52 83.73 89.39 95.80 105.40 109.13 118.55	Y 22.78 13.18 11.10 8.53 5.94 3.60 3.30 2.56	Lambda=	0.220

```
128.83
                                                            2.42
                                                  142.21
                                                            7.87
                                                 155.18
                                                           13.33
                                                 164.26
                                                           20.32
                                                  174.91
                                                           29.18
                                                           35.93
                                                 182.99
                                                  192.17
                                                           43.64
 Fattore di sicurezza (FS)
                                1.799 - N.10 --
                                                                       Lambda = 0.215
                                                           30.68
                                                 112.09
                                                  122.18
                                                           21.23
                                                 134.01
                                                           14.12
                                                 138.40
                                                           12.23
                                                 142.86
                                                           10.31
                                                  156.15
                                                           11.47
                                                  162.80
                                                           13.10
                                                 176.98
                                                           16.61
                                                 187.43
                                                           21.23
                                                           24.60
                                                  195.02
                                                  204.05
                                                           29.49
                                                  214.18
                                                           37.20
                                                  225.07
                                                           45.51
                                                           51.50
                                                  231.11
                                                 231.54
                                                           51.93
# DATI RELATIVI ALLE 10 SUPERFICI GENERATE CON MINOR FS *
  # Analisi Deficit in riferimento a FS(progetto) = 1.100
                         FTR(kN/m)
20778.7
                                        FTA(kN/m) Bilancio(kN/m)
    Sup N.
              FS
                                                                      ESITO
             1.560
                                        13317.9
                                                    6128.9
       1
                                                                     Surplus
                          20067.1
                                                      6021.0
                                         12769.1
       \bar{2}
             1.572
                                                                      Surplus
             1.580
                                         13259.8
                          20950.6
                                                       6364.8
                                                                      Surplus
             1.595
                          19134.5
                                         11994.2
                                                      5940.8
                                                                      Surplus
             1.716
                          17269.0
                                         10062.9
                                                      6199.9
                                                                      Surplus
             1.720
                                                      6794.4
                                                                      Surplus
       6
                          18854.5
                                         10963.7
                          18810.0
                                                      6861.8
             1.732
                                         10862.0
                                                                      Surplus
       8
             1.744
                          18988.7
                                         10888.4
                                                       7011.5
                                                                      Surplus
             1.790
                          18290.7
                                         10216.8
                                                      7052.3
                                                                      Surplus
             1.799
                          17509.6
                                                      6804.7
      10
                                                                     Surplus
    Esito analisi: SURPLUS di RESISTENZA!
    Valore minimo di SURPLUS di RESISTENZA (kN/m): 5940.8
Descrizione: Verifica stabilità versante stato attuale
             SEZIONE 2-2' - condizioni drenate
----- PARAMETRI DEL MODELLO DEL PENDIO ------
            __ PARAMETRI GEOMETRICI - Coordinate X Y (in m) __
            SUP T.
                            SUP 2
                                              SUP 3
          Χ
                 Υ
                          Χ
                                  Υ
                                           Х
                                                   Υ
         0.00
                 0.00
                          0.00
                                 14.70
                                           0.00
                                                  10.60
                                          31.69
57.74
                         31.06
57.11
                 15.00
                                 15.13
         0.00
                                                   11.03
                15.49
16.96
        31.11
                                 17.02
                                                   12.92
                                 \bar{1}9.09
        48.34
                         60.86
                                          62.83
                                                  14.36
                 17.32
17.46
        54.79
                         71.69
                                  20.20
                                          72.31
                                                   16.11
        57.16
                        137.60
                                  28.36
                                         138.23
                                                   24.27
                20.43
20.55
22.05
        60.97
                        177.00
                                 34.35
                                         163.52
                                                   28.43
                                         221.14
233.19
                                 41.62
                                                  38.08
                        220.04
        71.69
        74.57
                        233.22
                                  46.70
                                                   41.87
                 22.68
                                         256.84
        83.37
                        256.84
                                  52.11
                                                   47.85
        85.19
                 22.89
       106.76
                 24.88
                 28.70
29.90
       137.75
       144.14
       155.84
                 31.84
       175.38
                 34.58
                 38.81
       201.37
       220.52
                 42.48
```

```
234.87 48.16
250.70 51 00
       256.84
                52.41
 ## ASSENZA DI FALDA ##
     ____ PARAMETRI GEOTECNICI __
                           fi`
                                           C`
                                                         Gamm
                          12.0
25.6
                                          1.6
       STRATO 1
                                                         16.2
       STRATO 2
STRATO 3
                                          4.0
                                                         19.4
                                          0.0
                                                         22.5
        Note: fi`_____ Angolo di attrito interno efficace(in gradi)
C` _____ Coesione efficace (in Kpa)
                 Gamm _____ Peso di volume terreno fuori falda (in KN/m^3)
  ----- INFORMAZIONI GENERAZIONE SUPERFICI RANDOM ------
 *** PARAMETRI PER LA GENERAZIONE DELLE SUPERFICI
     METODO DI RICERCA: CONVEX RANDOM - Chen (1992)
      FILTRAGGIO SUPERFICI: ATTIVATO
     LUNGHEZZA MEDIA SEGMENTI (m): 6.0 (+/-) 50%

RANGE ASCISSE RANDOM STARTING POINT (Xmin .. Xmax): 65.00

LIVELLO MINIMO CONSIDERATO (Ymin): 0.00

RANGE ASCISSE AMMESSO PER LA TERMINAZIONE (Xmin .. Xmax): 65.00
                                                                                                 180.00
                                                                                                  250.00
 *** TOTALE SUPERFICI GENERATE: 1000
 ----- INFORMAZIONI PARAMETRI DI CALCOLO ------
     METODO DI CALCOLO : MORGENSTERN & PRICE (Morgenstern & Price, 1965)
COEFFICIENTE SISMICO UTILIZZATO Kh: 0.068
COEFFICIENTE SISMICO UTILIZZATO KV: 0.034
 ----- RISULTATO FINALE ELABORAZIONI ------
   * DATI RELATIVI ALLE 10 SUPERFICI GENERATE CON MINOR FS *
                                                                               Lambda= 0.283
                                   1.983 - Min. -
Fattore di sicurezza (FS)
                                                       159.20
                                                                  32.31
                                                       170.07
                                                                  29.77
                                                       182.98
                                                                  32.20
                                                       191.44
                                                                  33.81
                                                        203.83
                                                                   36.20
                                                        216.92
                                                                  38.74
                                                        225.51
                                                                  40.42
                                                       230.53
                                                                  41.91
                                                       233.74
                                                                  42.86
                                                        238.57
                                                                  45.78
                                                        242.67
                                                                  49.60
                                    2.158 - N.2 --
                                                                  Y
33.73
Fattore di sicurezza (FS)
                                                       X
169.29
                                                                               Lambda= 0.302
                                                        182.19
                                                                  32.98
                                                       191.08
205.34
                                                                  32.49
                                                                  35.65
                                                        210.66
                                                                  36.83
                                                        223.73
                                                                  39.77
                                                        233.15
                                                                  44.59
                                                                  49.34
Fattore di sicurezza (FS) 2.181 - N.3 --
                                                                               Lambda= 0.292
                                                       170.57
179.22
190.43
                                                                  33.91
                                                                  31.19
32.64
                                                        196.37
                                                                  33.41
                                                        199.52
                                                                   34.06
                                                        213.67
                                                                  37.19
                                                                  40.13
                                                        226.85
                                                        230.51
                                                                  40.98
                                                                  42.48
49.55
                                                        233.47
                                                        244.53
                                                        245.05
                                                                  50.04
```

Fattore di sicurezza (FS	) 2.198	- N.4 X 173.12 181.69 193.75 202.14 216.62 219.93 226.80 234.50 244.00 244.72	Y 34.26 32.91 33.48 34.77 37.01 37.65 40.11 42.89 49.27 49.98	Lambda=	0.310
Fattore di sicurezza (FS	) 2.221	- N.5 X 171.64 181.55 194.32 209.00 213.54 221.81 234.26	Y 34.06 33.30 34.82 36.59 37.41 41.13 47.92	Lambda=	0.293
Fattore di sicurezza (FS	2.439	- N.6 X 179.75 185.87 200.00 207.96 212.45 217.14 221.04	Y 35.29 34.72 35.46 36.69 37.39 40.02 42.69	Lambda=	0.275
Fattore di sicurezza (FS	2.465	- N.7 X 66.76 70.67 82.33 83.66	Y 20.49 19.62 21.90 22.71	Lambda=	0.282
Fattore di sicurezza (FS	) 2.475	- N.8 X 160.20 164.41 170.30 184.36 188.64 198.27 211.84 217.25	Y 32.45 32.56 32.72 33.14 33.40 35.14 37.94 41.85	Lambda=	0.252
Fattore di sicurezza (FS	2.486	- N.9 X 149.16 152.51 156.89 170.36 181.97 196.34 202.88 210.50 220.81 222.69	Y 30.73 29.71 29.36 31.03 32.49 35.68 37.14 38.86 41.93 43.34	Lambda=	0.258
Fattore di sicurezza (FS	2.493	- N.10 X 166.17 180.31 193.00 202.95 212.85 221.35 227.53 230.67 234.21 237.34	Y 33.29 33.05 32.85 32.84 35.74 38.24 40.51 42.47 45.00 48.62	Lambda=	0.322

Sup N.	FS	FTR(kN/m)	FTA(kN/m)	Bilancio(kN/m)	ESITO
· 1	1.983	2809.6	1417.1	1250.8	Surplus
2	2.158	2556.6	1184.4	1253.7	Surplus
3	2.181	3368.9	1544.4	1670.1	Surplus
4	2.198	3222.0	1465.6	1609.8	Surplus
5	2.221	1521.0	684.8	767.7	Surplus
6	2.439	1033.5	423.8	567.4	Surplus
7	2.465	146.8	59.6	81.3	Surplus
8	2.475	1369.2	553.2	760.7	Surplus
9	2.486	1755.1	705.9	978.7	Surplus
10	2.493	3575.4	1434.3	1997.8	Surplus

Esito analisi: SURPLUS di RESISTENZA!

Valore minimo di SURPLUS di RESISTENZA (kN/m): 81.3

Descrizione: Verifica stabilità versante stato di progetto SEZIONE 1-1' - condizioni drenate

----- PARAMETRI DEL MODELLO DEL PENDIO ------

\_\_ PARAMETRI GEOMETRICI - Coordinate X Y (in m) \_\_

SUF	Υ.	SUF	2	SUF	3	SUP	4
X	Υ	х	Υ	х	Υ	Х	Υ
0.00 0.00 24.28 32.33 40.18 46.79 49.79 55.29 55.29 55.79 57.12 61.29 61.29 66.44 66.94 71.75 74.63 82.19 82.19 82.69 95.52 95.52 95.52 95.52 95.52 95.52 105.96 106.46 116.16 116.16 116.16 116.16 116.79 134.24 149.62 162.72 168.14	0.00 14.40 15.00 14.65 14.55 18.40 18.52 18.52 18.52 19.52 19.52 19.52 20.52 20.52 20.52 20.52 20.52 27.47 27.47 29.87 29.87 29.87 29.87 29.87 31.58 31.58 31.79 33.75 37.84 38.92 40.06	116.16 109.98 106.46 105.96 95.93 82.69 82.69 82.69 82.69 66.94 66.94 66.94 66.79 57.12 55.79 55.29 53.49 51.00 0.00 24.28 32.33 41.04 32.33 49.02 59.27 60.61 77.95 59.27 60.61 77.95 59.27 60.61 77.95 59.27 60.61 77.95 79.27 60.61 77.95 79.27 60.61	29.87 29.87 29.27 27.47 27.47 27.47 23.24 23.24 21.75 20.52 20.52 19.52 19.52 19.52 18.53 17.96 16.71 18.39 19.41 21.99 25.39 27.99 29.29 29.87	0.00 24.28 32.33 41.13 49.02 52.26 59.27 60.61 64.64 77.95 81.65 95.03 96.19 110.08 117.97 121.72 158.08 168.14 213.19 233.97 240.13	12.50 12.15 12.04 14.59 16.06 16.71 18.39 121.99 22.96 25.39 27.99 29.29.29 29.25 34.54 36.05 44.14 49.05 50.53	0.00 24.28 32.33 41.92 49.02 52.26 59.27 60.61 64.64 77.95 81.65 95.03 96.19 110.08 117.72 162.72 170.55 213.19 233.97 240.13	9.30 8.95 8.84 11.52 12.86 12.93 15.01 15.19 16.21 18.79 19.76 22.19 26.09 26.54 32.14 34.13 40.94 45.85 47.33

207.48 213.19 215.25 224.86 226.41 233.97 235.10 240.13	45.92 46.64 47.79 49.81 50.61 52.55 52.19 53.03	158.08 168.14 213.19 233.97 240.13 240.13 236.60 233.97 228.27 224.86 216.92 213.19 207.48 170.40 166.72 162.72 149.62 134.24 117.97 116.66 116.16	34.54 36.05 44.14 49.05 50.53 52.43 51.59 50.95 50.01 49.21 47.19 46.04 45.32 39.46 38.32 37.24 34.97 33.15 31.19 30.90 29.87 29.87	-	-	-	
SUP	5	SUP	6	SUF	7	SUP	8
X	Y	X	Υ	X	Y	X	Y
0.00 24.28 32.33 41.58 49.02 52.26 59.27 60.61 64.64 77.95 81.65 95.03 96.19 110.08 117.97 121.72 171.17 213.19 240.13	6.50 6.15 6.04 8.21 10.06 10.13 12.21 12.39 13.41 15.99 16.96 19.63 21.99 23.72 31.29 38.14 44.53	116.66 116.16 116.16 116.66 116.66 	31.58 31.58 29.87 29.87 30.98 31.58	106.46 105.96 105.96 106.46 106.46 	29.87 29.87 27.47 27.47 29.27 29.87 - - - - - - - - -	82.69 82.19 82.69 82.69 82.69 	25.64 25.64 23.24 25.04 25.64 
SUP	9	SUP	10	SUF	11		
X	Y	Х	Υ	Х	Y		
66.94 66.44 66.94 66.94 66.94	22.35 22.35 20.52 20.52 21.75 22.35	61.79 61.29 61.29 61.79 61.79	20.52 20.52 19.52 19.52 20.52	55.79 55.29 55.29 55.79 55.79 55.79	19.52 19.52 18.52 18.52 19.15 19.52		
ASSENZA DI							
STRATO 1 STRATO 2 STRATO 3 STRATO 4 STRATO 5 STRATO 6 STRATO 7 STRATO 8		fi 12.0 20.0 25.6 16.0 20.0 50.0 50.0 50.0	1. 9. 4. 1. 9. 980. 980.	6 6 0 6 6 0 0	Gamm 16.2 19.4 19.4 19.9 25.0 25.0		
STRATO 9 STRATO 1		50.0 50.0	980. 980.		25.0 25.0		

##

STRATO	11	50.0	980.0	25.0			
Note:	C	Coesid	o di attrito one efficace li volume tem	(in Kpa)			
SOVR	ACCARICHI	PRESENTI					
SOVRACCARICO	N.1						
carico (K posizione da a	pa): 11 m.: 7 m.: 8	2.25					
SOVRACCARICO	N.2						
carico (K posizione da a	pa): 11 m.: 9 m.: 10	7.68 6.02 5.96					
FILTRAGG LUNGHEZZ RANGE AS LIVELLO	I PER LA I RICERCA IO SUPERF A MEDIA S CISSE RAN MINIMO CO	GENERAZION : CONVEX R ICI: ATTIV EGMENTI (M DOM STARTI NSIDERATO	NE DELLE SUPE RANDOM – Cher	ERFICI n (1992) ) 50% nin Xmax )	):	45.00	120.00 220.00
*** TOTALE S	UPERFICI	GENERATE:	1000				
COEFFICI	I CALCOLO	: MORGENS	METRI DI CALC STERN & PRICE ZZATO Kh: 0. ZZATO KV: 0.	E (Morgens .084		ce, 1965)	
	RISULTAT	O FINALE E	LABORAZIONI				
			RFICI GENERAT				
Fattore di si	curezza (	FS) 1.	109 - Min.	- X 47.24 60.66 63.98 72.34 75.50 79.25	18.52 13.09 13.42 16.58	Lambda=	0.459
Fattore di si	curezza (	FS) 1.	112 - N.2 -	X 47.90 60.80 66.06 71.54 80.38	Y 18.52 14.58 15.08 16.78 23.24	Lambda=	0.452
Fattore di si	curezza (	FS) 1.	141 - N.3 -	X 49.03 54.47 65.28 79.26 87.93 92.55 100.22 104.72	Y 18.52 15.41 15.61 17.84 19.40 20.24 24.18 27.47	Lambda=	0.384
Fattore di si	curezza (	FS) 1.	165 - N.4 -	X 49.89 54.19 57.71 70.14 75.62	Y 18.52 16.04 14.67 15.26 16.90	Lambda=	0.423

					89.10 96.28 104.26	21.57 24.09 27.47		
Fattore di	sicurezza	(FS)	1.187	- N.5	X 50.17 53.64 65.16 76.16 82.70 91.70 92.34	Y 18.52 17.17 15.00 17.33 20.34 26.93 27.40	Lambda=	0.383
Fattore di	sicurezza	(FS)	1.187	- N.6	X 48.53 54.88 68.91 72.29 82.84 88.65 100.54 101.21	Y 18.52 17.27 14.54 14.63 18.39 21.06 26.91 27.47	Lambda=	0.405
Fattore di	sicurezza	(FS)	1.188	- N.7	59.48 66.10 70.56 77.74 82.37	Y 19.52 17.01 15.32 17.29 19.72 22.73 26.48 27.92	Lambda=	0.405
Fattore di	sicurezza	(FS)	1.190	- N.8	X 50.46 64.93 72.33 81.77 84.65 92.33	Y 18.52 14.88 16.78 19.47 21.61 27.40	Lambda=	0.413
Fattore di	sicurezza	(FS)	1.198	- N.9	48.78	Y 18.52 16.77 12.98 14.07 18.37 22.13 27.13 27.47	Lambda=	0.429
Fattore di	sicurezza	(FS)	1.201	- N.10	X 57.65 67.04 71.65 80.45 89.17 99.73	Y 19.52 14.58 15.23 16.55 21.47 27.47	Lambda=	0.459
# DATI RELA # Analisi		LO SUPERF	ICI GEN	TENZA ERATE CON FS(progett	MINOR FS			
Sup N. 1 2 3 4 5 6	FS 1.109 1.112 1.141 1.165 1.187 1.187	FTR(kn, 1503 1428 2718 2695 1725 2571	.8 .3 .7 .1	FTA(kN/m) 1356.3 1284.3 2381.9 2312.4 1453.5 2165.7	1 1 9 15 12	rio(kN/m) 1.9 5.6 8.6 11.4 6.3	ESITO Surplus Surplus Surplus Surplus Surplus Surplus	

7 8 9 10	1.188 1.190 1.198 1.201	1623.2 1651.8 2819.9 2206.4	1366.9 1388.4 2353.4 1836.8	119.7 124.6 231.2 186.0	Surplus Surplus Surplus Surplus	
Esito a	analisi:	SURPLUS di RESI	STENZA!			
valore	minimo di	SURPLUS di RES	ISTENZA (kN/m):	11	.9	
Descrizione	e: Verific SEZIONE	a stabilità ver 1-1' - condizi	sante stato di <sub> </sub> oni non drenate	progetto		
PARAN	METRI GEOT	ECNICI				
	1	Cu	Gamm			
STRA	ATO 1 ATO 2	17.5 34.6	16.2 19.4			
STRA	ATO 3 ATO 4	55.7 56.6	19.4 19.4			
STRA	ATO 5 ATO 6	128.6 1000.0	19.9 25.0			
STRA	ATO 7 ATO 8	1000.0 1000.0	25.0 25.0			
STRA	ATO 9 ATO 10	1000.0 1000.0	25.0 25.0			
Not	что 11 te: Си	1000.0 Resisten	25.0 za al taglio No	n drenata (	in Kpa)	
ć			volume terreno	ruori taida	(1n KN/m^3)	
SOVRACCARI		CHI PRESENTI	<del></del>			
		117.68				
posizione		72.25 82.19				
SOVRACCAR1	CO N.2					
carico posizione	(Kpa): da m.: a m.:	117.68 96.02 105.96				
	TNFOR	MAZTONT GENERAZ	IONE SUPERFICI	RANDOM		
*** PARAN	METRI PER	LA GENERAZIONE	DELLE SUPERFICI DOM - Chen (199)			
		ERFICI: ATTIVAT A SEGMENTI (m):	0 6.0 (+/-) 509	%		
		RANDOM STARTING CONSIDERATO (Y	POINT (Xmin min): 0.00	xmax):	45.00	120.00
RANGE	E ASCISSE A	AMMESSO PER LA	TERMINAZIONE (XI	min xmax	): 40.00	220.00
*** TOTAL	E SUPERFI	CI GENERATE :	1000			
METOD COEFF	OO DI CALC FICIENTE S				Price, 1965)	
	RISUL	TATO FINALE ELA	BORAZIONI			
			CI GENERATE CON			
Fattore di	i sicurezz	a (FS) 1.32	5 - Min :		Lambda=	0.291
			59 66 72	.35 19.52 .86 16.76 .41 14.49 .44 16.02		
				.09 19.64 .07 23.24		

Fattore di sicurezza (FS)	1.347	- N.2 X 55.78 58.68 66.41 79.01 84.92 93.12 104.20 110.29	Y 19.52 17.16 14.46 16.37 18.38 21.18 24.98 29.87	Lambda=	0.314
Fattore di sicurezza (FS)	1.408	57.75 60.71 67.23 79.75 89.36	Y 19.52 17.26 14.75 18.17 20.82 22.70 28.03 29.87	Lambda=	0.321
Fattore di sicurezza (FS)	1.426	- N.4 X 48.92 62.35 75.73 87.64 97.42 107.03 109.84	Y 18.52 13.73 15.72 19.63 23.42 27.84 29.87	Lambda=	0.272
Fattore di sicurezza (FS)	1.435	- N.5 X 53.99 57.96 61.63 64.75 70.68 79.27 89.93 98.18	Y 18.52 15.88 15.30 14.81 14.82 18.48 23.05 27.47	Lambda=	0.348
Fattore di sicurezza (FS)	1.441	59.07 63.75 69.38 76.61 79.95	Y 19.52 17.19 16.65 15.97 16.52 19.39 24.48 27.47	Lambda=	0.342
Fattore di sicurezza (FS)	1.449	- N.7 X 61.20 70.42 73.85 81.25	Y 19.52 18.13 18.73 23.24	Lambda=	0.353
Fattore di sicurezza (FS)	1.456	- N.8 X 56.06 59.96 72.55 81.09 93.84 100.21 100.80	Y 19.52 16.30 15.81 17.64 23.94 27.10 27.47	Lambda=	0.373
Fattore di sicurezza (FS)	1.487	- N.9 X 53.21 58.03 62.31 72.97	Y 18.52 15.02 14.01 17.86	Lambda=	0.414

```
78.91 21.42
80.76 23.24
                                1.502 - N.10 --
 Fattore di sicurezza (FS)
                                                                         Lambda= 0.382
                                                    54.82
                                                             18.52
                                                     59.79
                                                             14.19
                                                    64.50
                                                             13.14
                                                    72.07
                                                             15.45
                                                    81.91
                                                             18.48
                                                    87.56
                                                             20.24
                                                             25.39
27.45
                                                    96.58
                                                    99.63
                                                    99.66
                                                             27.47
----- ANALISI DEFICIT DI RESISTENZA ------ # DATI RELATIVI ALLE 10 SUPERFICI GENERATE CON MINOR FS *
  # Analisi Deficit in riferimento a FS(progetto) = 1.100
    Sup N.
                          FTR(kN/m)
                                         FTA(kN/m) Bilancio(kN/m) ESITO
                                         1360.6
2497.2
                                                         305.9
617.9
              1.325
                            1802.6
                                                                        Surplus
              1.347
                            3364.8
                                                                        Surplus
                            3307.3
              1.408
                                                          724.1
        3
                                           2348.4
                                                                        Surplus
        4
                            3762.0
                                           2638.0
                                                          860.1
              1.426
                                                                        Surplus
       5
              1.435
                           2677.3
                                           1866.2
                                                          624.5
                                                                        Surplus
              1.441
                            2738.7
                                           1900.6
                                                          648.1
                                                                        Surplus
                            1214.8
                                                         292.7
                                                                        Surplus
              1.449
                                            838.3
              1.456
                            2725.6
1887.7
                                           1871.7
       8
                                                         666.7
                                                                        Surplus
                                           1269.2
              1.487
       9
                                                         491.6
                                                                        Surplus
      10
              1.502
                            3236.2
                                           2153.9
                                                         866.9
                                                                        Surplus
    Esito analisi: SURPLUS di RESISTENZA!
    Valore minimo di SURPLUS di RESISTENZA (kN/m): 292.7
Descrizione: Verifica stabilità versante stato di progetto SEZIONE 2-2' - condizioni drenate
 ----- PARAMETRI DEL MODELLO DEL PENDIO ------
             __ PARAMETRI GEOMETRICI - Coordinate X Y (in m) __
             SUP T.
                             SUP 2
                                                SUP 3
                                                                SUP 4
          Х
                  Υ
                           Χ
                                   Υ
                                            X
                                                     Υ
                                                               Χ
                                                                        Υ
                                                    10.60 144.07
11.03 143.57
                  0.00
                           0.00
                                   10.60
                                             0.00
                                                                      29.88
          0.00
                          31.69
57.74
                                           31.69
57.74
62.83
          0.00
                 10.60
                                   11.03
                                                                     29.88
                                   12.92
                                                    12.92
                                                            143.57
          0.00
                 14.70
                                                                      28.12
                                                    14.36 144.07
                                  14.36
                         62.83
          0.00
                 15.00
                                                                      28.12
                                                           144.07
                          72.31
        31.11
                                           72.31
                                                                      29.34
                 15.49
                                  16.11
                                                    16.11
         48.34
                 16.96
                         138.23
                                   24.27
                                          138.23
                                                    24.27
                                                            144.07
                                                                      29.88
                 17.32
17.46
         54.79
                         163.52
                                   28.43
                                          163.52
                                                    28.42
        57.16
60.97
                                  38.08
                         221.14
                                          221.14
                                                    38.08
                                  41.87
                 20.43
                        233.19
                                          233.19
                                                    41.87
                       256.84
                 20.55
         71.69
                                  47.85 256.84
                                                    47.85
         74.57
                 22.05
                         256.84
                                  52.11
         82.10
                 22.59
                        233.22
                                  46.70
        89.39
                 22.59 23.32
                                  41.62
                                             220.04
        89.39
                         177.00
                                   34.35
                                  29.34
         89.39
                 23.32
                        144.07
         89.89
                 23.32
                         144.07
                                   28.12
                 23.84
         95.47
                         143.57
                                   28.12
        95.47
95.47
                 23.15 22.58
                                   28.12
                         135.67
                         133.06
                                   27.80
                 22.58
22.58
                                   25.72
        104.60
                        133.06
        107.15
                         132.56
                                   25.72
        107.15
                 24.98
                         121.23
                                   25.72
                 24.98
                         121.23
107.65
                                   26.34
        107.65
        121.23
                 26.66
                                   24.65
                 26.34
25.72
        121.23
                         107.65
                                   22.58
                                   22.58
        121.23
                         107.15
                        95.47
95.47
       129.96
                 25.72
                                   22.58
```

132.56

25.72

23.15

```
20.20
       132.56
       133.06
                 28.12
                           60.86
                                    19.09
       135.67
                 28.12
                           57.11
                                    17.02
      143.57
143.57
                 28.12
                           31.06
                                    15.13
14.70
                                                -
-
-
-
                  29.88
                            0.00
                                    10.60
       144.07
                 29.88
                            0.00
       144.14
                  29.90
       155.84
                 31.84
       175.38
                 34.58
                 38.81
       201.37
       220.52
                 42.48
       234.87
                 48.16
       250.70
                 51.09
       256.84
                 52.41
             SUP 5
                               SUP 6
                                                 SUP 7
                                  Υ
                  Υ
                             Х
                                                Х
                                                          Υ
       133.06
                 28.12 107.65
                                    24.98
                                              89.89
                                                        23.32
                         107.15
107.15
107.65
      132.56
132.56
                                              89.39
                 28.12
                                    24.98
                                                        23.32
                 25.72
25.72
                                                        22.59
                                    22.58
                                              89.39
                                    22.58
                                                        22.59
                                              89.89
       133.06
                 27.80 107.65
28.12 107.65
       133.06
                                    22.96
                                              89.89
                                                        23.32
                                    24.65
       133.06
                          107.65
                                    24.98
 ## ASSENZA DI FALDA ##
       ___ PARAMETRI GEOMECCANICI ____
                                                        Gamm
                          12.0
                                         1.6
       STRATO 1
                                                        16.2
       STRATO 2
                          25.6
                                        4.0
                                                        19.4
       STRATO 3
                                        0.0
                                                        22.5
                          36.0
       STRATO 4
                                       980.0
                          50.0
                                                        25.0
       STRATO 5
                                       980.0
                          50.0
                                                        25.0
                                                        25.0
       STRATO 6
                          50.0
                                       980.0
       STRATO 7
                          50.0
                                       980.0
                                                        25.0
        Note: fi`_____ Angolo di attrito interno efficace(in gradi)
C _____ Coesione efficace (in Kpa)
                         ____ Peso di volume terreno fuori falda (in KN/m^3)
         SOVRACCARICHI PRESENTI
SOVRACCARICO N.1
    carico (Kpa): 117.68
sizione da m.: 95.97
a m.: 107.50
 posizione da m.:
SOVRACCARICO N.2
                       117.68
    carico (Kpa):
                       \bar{1}21.73
 posizione da m.:
                       132.56
             a m.:
    ----- INFORMAZIONI GENERAZIONE SUPERFICI RANDOM ------
 *** PARAMETRI PER LA GENERAZIONE DELLE SUPERFICI
     METODO DI RICERCA: CONVEX RANDOM - Chen (1992)
      FILTRAGGIO SUPERFICI: ATTIVATO
     LUNGHEZZA MEDIA SEGMENTI (m): 6.0 (+/-) 50%
RANGE ASCISSE RANDOM STARTING POINT (Xmin .. Xmax): 65.00
LIVELLO MINIMO CONSIDERATO (Ymin): 0.00
                                                                                                160.00
      RANGE ASCISSE AMMESSO PER LA TERMINAZIONE (Xmin .. Xmax): 65.00
                                                                                                250.00
 *** TOTALE SUPERFICI GENERATE:
 ----- INFORMAZIONI PARAMETRI DI CALCOLO ------
     METODO DI CALCOLO : MORGENSTERN & PRICE (Morgenstern & Price, 1965)
COEFFICIENTE SISMICO UTILIZZATO Kh: 0.068
COEFFICIENTE SISMICO UTILIZZATO KV: 0.034
```

28.12

71.69

----- RISULTATO FINALE ELABORAZIONI ------\* DATI RELATIVI ALLE 10 SUPERFICI GENERATE CON MINOR FS \* 1.900 - Min. -0.300 Fattore di sicurezza (FS) Lambda= 109.91 120.54 25.26 22.53 23.63 25.72 123.69 127.51 Y 25.28 23.71 23.33 2.008 - N.2 --0.361 Fattore di sicurezza (FS) Х Lambda= 110.05 115.57 120.38 126.18 2.077 - N.3 --X 108.27 0.320 Fattore di sicurezza (FS) Lambda= Υ 25.06 22.92 22.06 112.62 118.99 24.31 25.72 126.00 127.96 Y 28.12 Fattore di sicurezza (FS) 2.137 - N.4 --Lambda= 0.448 140.08 26.01 144.51 148.21 26.74 155.95 31.20 157.45 32.07 Fattore di sicurezza (FS) 2.155 - N.5 --X 136.89 Lambda= 0.371 28.12 25.86 142.74 26.40 29.66 146.09 151.32 154.43 31.61 2.180 - N.6 --Y 25.66 23.08 X 113.13 Fattore di sicurezza (FS) Lambda= 0.251 120.51 127.44 24.68 129.73 25.72 Fattore di sicurezza (FS) 2.214 - N.7 --X 135.53 141.66 Lambda= 0.319 28.12 25.40 26.70 148.51 161.68 30.17 167.34 33.45 X 137.22 Fattore di sicurezza (FS) 2.231 - N.8 --Lambda= 0.326 Υ 28.12 141.94 25.21 26.74 27.91 29.27 31.72 152.57 160.64 165.38 173.86 33.74 36.52 180.82 187.32 Fattore di sicurezza (FS) 2.241 - N.9 --Lambda= 0.346 28.12 140.03 144.02 147.15 26.09 26.29 151.39 163.76 26.56 29.46

174.04

180.27

31.92

35.38

## Fattore di sicurezza (FS) 2.262 - N.10 -- X Y Lambda= 0.298 81.94 22.58 89.26 18.82 99.36 20.53 103.72 22.58

# DATI RELATIVI ALLE 10 SUPERFICI GENERATE CON MINOR Fs \* # Analisi Deficit in riferimento a FS(progetto) = 1.100

Sup N.	FS	FTR(kN/m)	FTA(kN/m)	Bilancio(kN/m)	ESITO
1	1.900	724.9	381.4	305.3	Surplus
2	2.008	563.8	280.8	254.9	Surplus
3	2.077	904.7	435.5	425.6	Surplus
4	2.137	459.4	215.0	222.9	Surplus
5	2.155	412.4	191.3	201.9	Surplus
6	2.180	780.3	357.8	386.6	Surplus
7	2.214	896.9	405.1	451.3	Surplus
8	2.231	1656.6	742.4	839.9	Surplus
9	2.241	1308.4	583.7	666.2	Surplus
10	2.262	1032.9	456.6	530.7	Surplus

Esito analisi: SURPLUS di RESISTENZA!

Valore minimo di SURPLUS di RESISTENZA (kN/m): 201.9